



RÉPUBLIQUE
FRANÇAISE

*Liberté
Égalité
Fraternité*



Géosciences pour une Terre durable

brgm

BDSolU

**Valeurs de fonds pédogéochimiques
anthropisés en milieu urbain**

Toulouse Métropole (31)

Profondeur : 0-5 cm

Avril 2024



GisSol

Avertissement

Les données capitalisées dans la BDSolU proviennent de projets de recherche, de rapports de diagnostics de sol et de programmes de détermination de valeurs de fonds pédogéochimiques locales. Le traitement de ces données a permis de déterminer les valeurs de fond présentées ici pour des sols de surface ou des sols profonds. Ces résultats sont mis à disposition afin d'être valorisés respectivement dans le cadre des démarches de diagnostic de sols et de valorisation des terres excavées.

L'utilisateur est responsable de l'utilisation de ces résultats. En particulier, il lui incombe de s'assurer qu'ils sont appropriés au contexte dans lequel il les utilise.

Tout usage ou interprétation des informations statistiques, des graphiques et des cartes présentés ne saurait engager la responsabilité du BRGM, de l'ADEME, des partenaires du projet, du GIS Sol ou des fournisseurs de données de la BDSolU.

Les valeurs de fond apportent une aide à l'analyse de la situation et ne constituent pas des valeurs seuils. Elles ne sont pas gage d'absence de risque sanitaire.

Il est à noter que l'alimentation de la base de données s'effectue au fil du temps en fonction des contributions. Ainsi, les informations statistiques, les graphiques et les cartes présentés dans la BDSolU peuvent évoluer. Merci de vérifier que vous avez pris connaissance des dernières versions mises à jour.

Les travaux faisant référence aux informations statistiques, aux graphiques et aux cartes présentés ici, doivent porter :

- la mention :

Programme BDSolU du GIS Sol développé par le BRGM en partenariat avec INRAE et eOde, avec la collaboration de MINES ParisTech et le soutien de l'ADEME - 2023.

- la date de parution des résultats (voir en couverture) ;
- une référence aux présentes réserves via le site <https://www.bdsolu.fr>.

Les présents chapitres « Avertissements » et « Contexte général » sont disponibles à l'adresse : <https://www.bdsolu.fr/fr/consulter-valeurs-de-fond>.

SOMMAIRE

Avertissement	3
1. Contexte général	7
2.1. LEGENDE DU TABLEAU DETAILLE DE RESULTATS	9
2.2. DESCRIPTION DES DIAGRAMMES EN BOITE	10
2.3. DESCRIPTION DES HISTOGRAMMES	10
2.4. DESCRIPTION DES CARTES.....	10
3. Tableaux détaillés des valeurs de fond	11
4. Diagrammes en boîte, histogrammes et cartes.....	13
4.1. ELEMENTS	13
4.1.1. Arsenic	13
4.1.2. Cadmium	14
4.1.3. Chrome.....	15
4.1.4. Cuivre	16
4.1.5. Mercure	17
4.1.6. Nickel	18
4.1.7. Plomb	19
4.1.8. Zinc	20
4.2. COUPES HYDROCARBURES	21
4.2.1. C10-C12	21
4.2.2. C12-C16	21
4.2.3. C16-C21	22
4.2.4. C21-C35	22
4.2.5. C35-C40	23
4.2.6. C10-C40	24
4.3. HYDROCARBURES AROMATIQUES POLYCYCLIQUES	25
4.3.1. Acénaphène	25
4.3.2. Acénaphylène.....	25
4.3.3. Anthracène	26
4.3.4. Benzo[a]anthracène	26
4.3.5. Benzo[a]pyrène	27
4.3.6. Benzo[b]fluoranthène.....	27
4.3.7. Benzo[ghi]pérylène	28
4.3.8. Benzo[k]fluoranthène.....	28
4.3.9. Chrysène	29
4.3.10. Dibenzo[a,h]anthracène	29
4.3.11. Fluoranthène.....	30
4.3.12. Fluorène.....	30
4.3.13. Indéno[1,2,3-cd]pyrène	31

4.3.14.	Naphtalène.....	31
4.3.15.	Phénanthrène	32
4.3.16.	Pyrène	32
4.3.17.	Somme des 16 HAP US EPA.....	33
4.4.	POLYCHLOROBIPHENYLES.....	34
4.4.1.	PCB 28	34
4.4.2.	PCB 52	34
4.4.3.	PCB 101	35
4.4.4.	PCB 118	35
4.4.5.	PCB 138	36
4.4.6.	PCB 153	36
4.4.7.	PCB 180	37
4.4.8.	Somme des 7 PCB indicateurs	38
4.5.	DIOXINES	39
4.5.1.	2-3-7-8-TCDD	39
4.5.2.	1-2-3-7-8-PeCDD	39
4.5.3.	1-2-3-4-7-8-HxCDD	40
4.5.4.	1-2-3-6-7-8-HxCDD	40
4.5.5.	1-2-3-7-8-9-HxCDD	41
4.5.6.	1-2-3-4-6-7-8-HpCDD	41
4.5.7.	OCDD.....	42
4.6.	FURANES	43
4.6.1.	2-3-7-8-TCDF	43
4.6.2.	1-2-3-7-8-PeCDF	43
4.6.3.	2-3-4-7-8-PeCDF	44
4.6.4.	1-2-3-4-7-8-HxCDF	44
4.6.5.	1-2-3-6-7-8-HxCDF	44
4.6.6.	1-2-3-7-8-9-HxCDF	45
4.6.7.	2-3-4-6-7-8-HxCDF	45
4.6.8.	1-2-3-4-6-7-8-HpCDF	46
4.6.9.	1-2-3-4-7-8-9-HpCDF	46
4.6.10.	OCDF	47
4.7.	DIOXINES ET FURANES	48
4.7.1.	Somme des dioxines et furanes.....	48

1. Contexte général

Plus le nombre d'analyses disponibles dans la base de données est élevé et plus il devient possible de calculer des valeurs de fonds pédogéochimiques anthropisés fiables. L'analyse des données actuellement bancarisées dans la BDSolU fait apparaître plusieurs zones géographiques métropolitaines présentant un nombre d'analyses suffisant pour lancer ce calcul, aux profondeurs utiles dans le cadre d'un **diagnostic de sol (0-5 et 0-30 cm)** et/ou de la **valorisation des terres excavées (plus de 30 cm)**.

Préalablement aux calculs, une **étape de sélection** des données vise l'obtention de la population la plus représentative possible en fonction de ces deux objectifs. Cette étape est rendue nécessaire en raison de la diversité des projets qui contribuent à la BDSolU et des hétérogénéités qui en découlent. Ainsi, dans un premier temps, les critères de sélection les plus stricts possibles ont été appliqués. Par exemple, pour les échantillons de surface, on a retenu uniquement les échantillons prélevés dans les parcs et jardins. Néanmoins le besoin d'un effectif suffisant pour permettre le calcul a parfois conduit à prendre en compte des données répondant à des critères moins stricts (par exemple, dans le cas de figure précédent, en acceptant les échantillons prélevés dans des espaces verts entourant des lieux d'habitation ou des installations sportives).

L'étape de calcul comprend :

- Un **dégroupement spatial des points de prélèvements**. En effet, en raison des objectifs des projets contributeurs de la BDSolU et des contraintes de prélèvement en milieu urbain, les points de prélèvements ne sont pas distribués uniformément dans la zone géographique étudiée. Les résultats d'analyse ont donc été pondérés en tenant compte de leur répartition.
- La **prise en compte des valeurs inférieures à la limite de quantification ou LQ** (valeurs < LQ aussi appelées valeurs censurées). Ces concentrations détectées par les méthodes d'analyse mises en œuvre au laboratoire, sont toutefois trop faibles pour être quantifiées de façon fiable. Souvent ignorées, ces valeurs sont pourtant porteuses d'information. Et leur substitution par des valeurs arbitraires (par exemple, 0 ou LQ/2) entraîne des biais statistiques. Dans le cadre des présents travaux, elles ont donc été valorisées au moyen d'une méthode de discrétisation qui consiste à les remplacer par des valeurs calculées, pondérées et situées entre 0 et la LQ (valeurs discrétisées).
- Le **calcul des sommes de concentration pour certaines familles de substances** (16 HAP, PCBi, dioxines et furanes...). Il s'agit simplement d'effectuer la somme des concentrations de chaque substance appartenant à cette famille. Toutefois, là aussi les concentrations < LQ, parfois ignorées également, ont été prises en compte. Dans tous les cas la somme indiquée correspond à la somme de l'ensemble des concentrations et des LQ. Si au moins l'une des concentrations concernées est < LQ, alors la somme est indiquée comme < LQ. Les limites de quantification des sommes ont été calculée selon le même principe. En outre, les sommes de dioxines et de furanes sont fournies en TEQ OMS 2005. Il s'agit de Quantités Equivalentes Toxiques calculées par pondération des concentrations de chaque molécule au moyen de Facteurs de Toxicité Equivalente (TEF) proposés par l'organisation mondiale de la santé en 2005).
- Les **limites basse et haute sont calculées respectivement selon les formules des vibrisses inférieure et supérieure internes de Tukey** (voir la description du

diagramme en boîte selon Tukey ci-dessous). La limite haute est aussi appelée la ligne de base de cette gamme.

Enfin, les résultats sont proposés en suivant les principales modalités suivantes :

- si, pour le paramètre retenu, l'effectif de la population des analyses obtenues après sélection des données brutes bancarisées est **inférieur à 30**, seules les **principales valeurs statistiques** sont fournies (moyenne, médiane, écart type, coefficient de variation, quantiles) ;
- si, pour le paramètre retenu, l'effectif de la population des analyses obtenues après sélection des données brutes bancarisées est **supérieur à 30**, les statistiques de bases sont complétées par les **limites basse et haute de la gamme des concentrations de fond** ;
- L'ensemble de ces valeurs de fonds est associé à un **indicateur de fiabilité** basé sur un nombre d'étoiles : * **peu fiable**, ** **moyennement fiable**, *** **fiable** ;

Cet indicateur tient compte du caractère plus ou moins strict des critères de sélection appliqués, de l'effectif, du taux de valeurs inférieures à la limite de quantification, de la dispersion (coefficient de variation) et de l'éventuelle plurimodalité de la population obtenue.

Les résultats obtenus sont accessibles sur www.bdsolu.fr depuis une carte ou en sélectionnant dans un formulaire à filtres, une zone géographique et un domaine de profondeur. Les pages qui s'affichent ensuite donnent accès à :

- un **tableau simplifié des valeurs de fonds** ;
- un **tableau détaillé des valeurs de fond** pour tableur (téléchargeable au format .csv) ;
- un fichier téléchargeable (au format .pdf) contenant le tableau détaillé des valeurs de fond ainsi que, pour chaque substance ou élément étudié :
 - l'**histogramme de répartition de la population de résultats d'analyse sélectionnée** ;
 - les **diagrammes en boîtes de la distribution statistique de cette population** ;
 - une **carte montrant la localisation géographique des points de prélèvement des échantillons de sol analysés**.

Les informations détaillées concernant le projet ayant conduit à la conception de la BDSolU et du processus de traitement des données bancarisées sont consultables (courant 2024) dans le livrable disponible depuis : <https://www.bdsolu.fr/fr/publications-communications>.

NB :

- Les populations de résultat d'analyse obtenues à l'issue de l'étape de sélection peuvent encore présenter des concentrations élevées. En nombre suffisamment réduit elles n'ont pas d'influence sur le calcul des limites internes de Tukey.
- Les histogrammes et diagrammes en boîte fournis ci-après sont plus ou moins réguliers en fonction des caractéristiques de la population sélectionnée (effectif, taux de valeurs inférieures à la limite de quantification analytique, présence d'outliers ou d'une plurimodalité). De plus, on notera qu'un taux élevé de valeurs inférieures à la limite de quantification analytique peut altérer le processus de construction des diagrammes en boîtes codé dans le langage R.

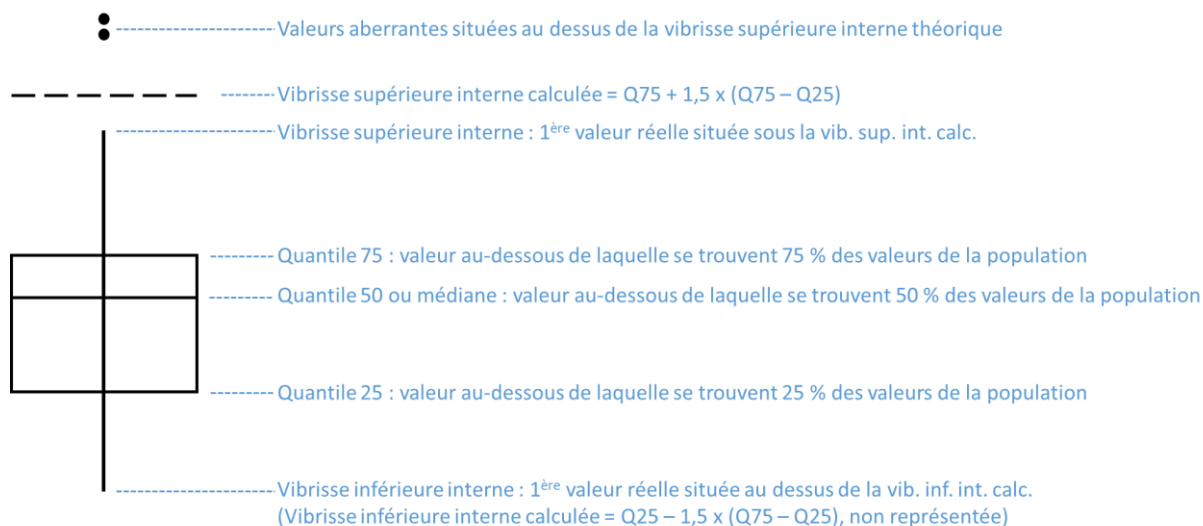
2. Légende et interprétation

2.1. LEGENDE DU TABLEAU DETAILLE DE RESULTATS

Nb.	Effectif de la population de résultats d'analyses utilisée
< LQ(%)	<p>Taux de résultats inférieurs à la limite de quantification. Pour une substance donnée, les LQ peuvent varier d'un échantillon à un autres. Ceci est dû :</p> <ul style="list-style-type: none"> • aux variations des conditions d'analyse en fonction du volume ou de la nature des échantillons, au sein d'un même laboratoire ; • aux différences des méthodes d'analyse entre laboratoire ; • à l'évolution des méthodes d'analyse employées avec le temps. <p>Il est donc normal que pour des échantillons différents, une même valeur puisse être classée à la fois <LQ et >LQ ou que certaines valeurs plus élevées soient identifiées comme <LQ alors que des valeurs plus faibles sont identifiées comme >LQ.</p>
Nb. disc.	Nombre de concentrations discrétisées pour le traitement des valeurs inférieures à la limite de quantification
Moyenne	<p>Moyenne arithmétique des concentrations. Somme des n concentrations divisée par n.</p> $\bar{x} = \frac{1}{n} \sum_{i=1}^n x_i$
Ecart type	<p>Mesure de la dispersion des concentrations. Racine carrée de la moyenne des carrés de l'écart des n concentrations à leur moyenne.</p> $\sigma = \sqrt{\frac{1}{n} \sum_{i=1}^n (x_i - \bar{x})^2}$
CV (%)	<p>Coefficient de variation en %. Ecart type divisé par la moyenne.</p> $CV = \frac{\sigma}{\bar{x}}$
Q10	Quantile 10%
Q25	Quantile 25%
Médiane	Quantile 50% et médiane
Q75	Quantile 75%
Q90	Quantile 90%
Q95	Quantile 95%
Vibrisse inf. int.	Vibrisse inférieure interne calculée : Limite basse de la gamme de concentrations de fond. Vib. inf. int. calc. = Q25 - 1,5 x (Q75-Q25)
Vibrisse sup. int.	Vibrisse supérieure interne calculée : Limite haute de la gamme de concentrations de fond, Ligne de base. Vib. sup. int. calc. = Q75 + 1,5 x (Q75-Q25)
Unités	Unités de mesure
TEQ	Toxic Equivalent Quantity. Quantité toxique équivalente exprimée selon les modalités de calcul recommandées par l'OMS en 2005.
Indice de fiabilité	Indice de fiabilité des valeurs de fond fournies : * faible, ** moyen, *** bon

2.2. DESCRIPTION DES DIAGRAMMES EN BOITE

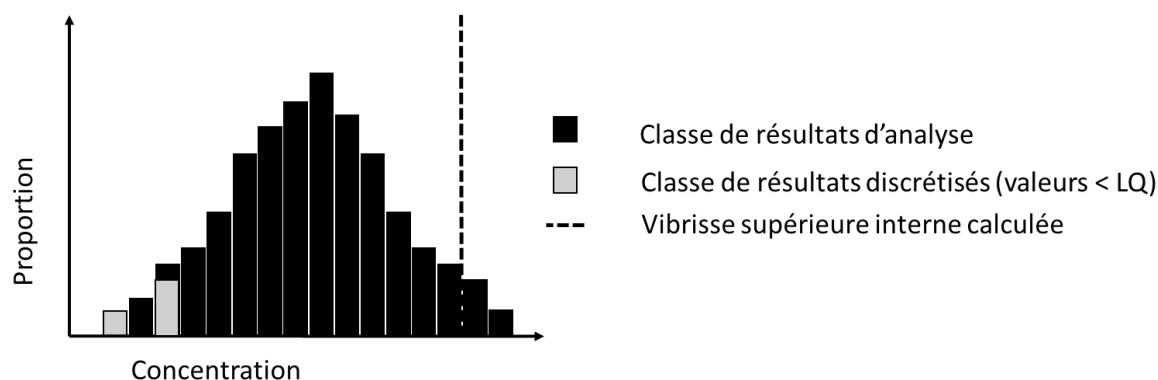
Le diagramme en boîte (aussi appelé boîte à moustaches ou boîte de Tukey ou box and whisker plot en anglais) est une représentation graphique qui permet une visualisation rapide des données statistiques d'une population.



2.3. DESCRIPTION DES HISTOGRAMMES

L'histogramme est une représentation graphique qui permet de visualiser la distribution des données statistiques d'une population selon des intervalles appelés classes. Chaque classe de données est représentée par une colonne de hauteur proportionnelle à son effectif. Dans les histogrammes présentés ici, les résultats d'analyse inférieurs à la limite de quantification de la méthode d'analyse ont été remplacés par des séries de valeurs dites discrétisées.

Une même population peut présenter plusieurs limites de quantification.



2.4. DESCRIPTION DES CARTES

Les cartes géographiques permettent d'apprécier l'étendue de la zone géographique où ont été sélectionnées les données, ainsi que l'uniformité de la répartition spatiale des points de prélèvement.

3. Tableaux détaillés des valeurs de fond

Paramètre	Nb.	<LQ(%)	Nb.Éisc.	Moyenne	Ecart type	CV(%)	Q10	Q25	Médiane	Q75	Q90	Q95	Vibrisse inf. int.	Vibrisse sup. int.	Unité	Indice de fiabilité
Arsenic	128	4	128	12	5	0	6	9	13	15	18	21	0	25	mg/kg	***
Cadmium	23	65	158	0.1	0.1	0.7	0.0	0.0	0.1	0.2	0.2	0.2	-	-	mg/kg	**
Chrome	23	0	23	60	63	1	26	34	55	61	120	130	-	-	mg/kg	**
Cuivre	23	0	23	36	90	3	7	10	19	22	63	86	-	-	mg/kg	**
Mercuré	23	43	113	0	0.1	1.2	0.0	0.0	0.1	0.2	0.3	0.4	-	-	mg/kg	**
Nickel	128	0	128	19	6	0	11	15	20	23	27	29	3	35	mg/kg	***
Plomb	46	2	46	42	46	1	18	21	26	42	80	172	0	74	mg/kg	**
Zinc	23	8	23	43	36	1	19	22	42	56	72	76	-	-	mg/kg	**

Paramètre	Nb.	<LQ(%)	Nb.Éisc.	Moyenne	Ecart type	CV(%)	Q10	Q25	Médiane	Q75	Q90	Q95	Vibrisse inf. int.	Vibrisse sup. int.	Unité	Indice de fiabilité
C10-C12	27	100	270	8	6	1	1	3	7	11	18	20	-	-	mg/kg	**
C12-C16	27	100	270	8	6	1	1	3	7	11	18	20	-	-	mg/kg	**
C16-C21	27	100	270	8	6	1	1	3	7	11	18	20	-	-	mg/kg	**
C21-C35	27	66	189	18	18	1	2	7	14	24	33	44	-	-	mg/kg	**
C35-C40	27	96	261	9	7	1	1	3	7	13	18	20	-	-	mg/kg	**
C10-C40	35	54	206	22	24	1	2	8	16	28	39	65	0	57.9	mg/kg	**

Paramètre	Nb.	<LQ(%)	Nb.Éisc.	Moyenne	Ecart type	CV(%)	Q10	Q25	Médiane	Q75	Q90	Q95	Vibrisse inf. int.	Vibrisse sup. int.	Unité	Indice de fiabilité
Acénaphthène	46	100	460	0.008	0.010	1.200	0.001	0.002	0.006	0.009	0.018	0.033	0.00	0.02	mg/kg	**
Acénaphthylène	46	91	424	0.010	0.012	1.100	0.001	0.003	0.007	0.011	0.028	0.044	0.00	0.02	mg/kg	**
Anthracène	46	82	388	0.012	0.015	1.200	0.001	0.003	0.007	0.012	0.035	0.045	0.00	0.03	mg/kg	**
Benzo[a]anthracène	46	63	307	0.036	0.068	1.900	0.001	0.004	0.009	0.033	0.100	0.200	0.00	0.08	mg/kg	**
Benzo[a]pyrène	46	58	289	0.040	0.077	1.900	0.001	0.004	0.009	0.039	0.120	0.180	0.00	0.09	mg/kg	**
Benzo[b]fluoranthène	46	47	244	0.057	0.110	1.900	0.002	0.006	0.012	0.044	0.160	0.300	0.00	0.10	mg/kg	**
Benzo[ghi]pérylène	46	60	298	0.031	0.055	1.800	0.001	0.004	0.009	0.030	0.087	0.130	0.00	0.07	mg/kg	**
Benzo[k]fluoranthène	46	63	307	0.024	0.041	1.700	0.001	0.004	0.009	0.028	0.059	0.110	0.00	0.06	mg/kg	**
Chrysène	46	60	298	0.037	0.069	1.900	0.001	0.004	0.009	0.033	0.090	0.210	0.00	0.08	mg/kg	**
Dibenzo[a,h]anthracène	46	100	460	0.011	0.013	1.200	0.001	0.003	0.007	0.011	0.031	0.044	0.00	0.02	mg/kg	**
Fluoranthène	46	45	235	0.061	0.110	1.900	0.002	0.006	0.012	0.044	0.200	0.310	0.00	0.10	mg/kg	**
Fluorène	46	100	460	0.008	0.010	1.200	0.001	0.002	0.006	0.009	0.018	0.033	0.00	0.02	mg/kg	**
Indéno[1,2,3-cd]pyrène	46	63	307	0.035	0.065	1.900	0.001	0.004	0.009	0.035	0.095	0.140	0.00	0.08	mg/kg	**
Naphtalène	46	100	460	0.008	0.010	1.200	0.001	0.002	0.006	0.009	0.018	0.033	0.00	0.02	mg/kg	**
Phénanthrène	46	69	334	0.025	0.038	1.600	0.001	0.003	0.008	0.031	0.076	0.120	0.00	0.07	mg/kg	**
Pyrène	46	54	271	0.051	0.095	1.900	0.001	0.004	0.010	0.040	0.170	0.260	0.00	0.09	mg/kg	**
Somme 16 HAP	46	0	46	0.346	0.760	2.200	0.000	0.000	0.024	0.205	1.240	2.010	0.00	0.51	mg/kg	**

BDSolU – Valeurs de fonds pédogéochimiques anthropisés en milieu urbain

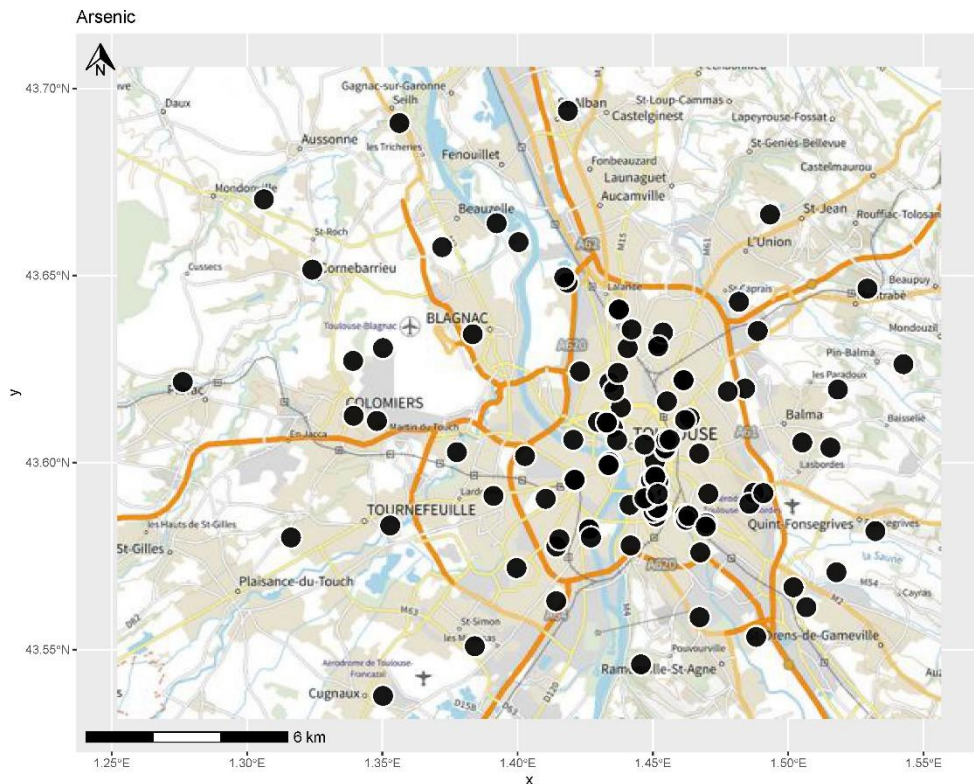
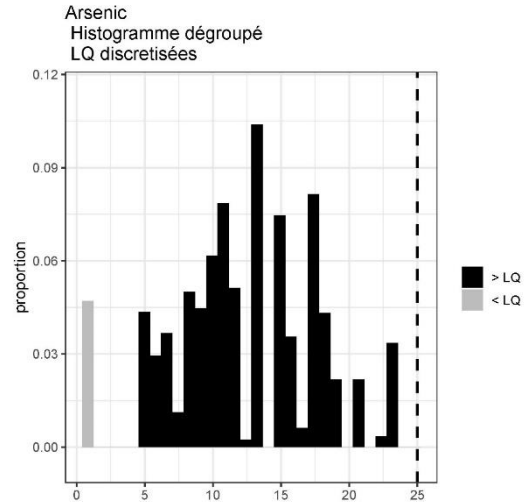
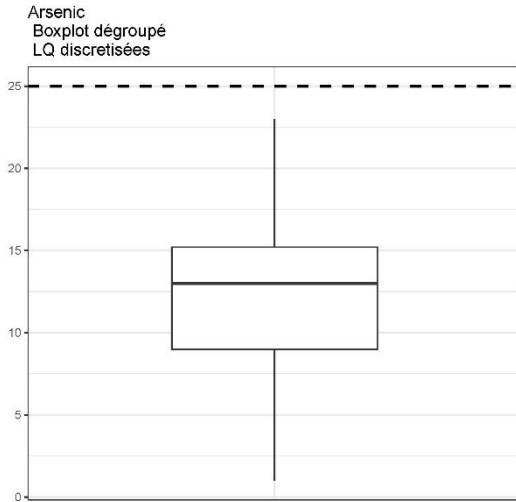
Paramètre	Nb.	<LQ(%)	Nb.¦isc.	Moyenne	Ecart type	CV(%)	Q10	Q25	Médiane	Q75	Q90	Q95	Vibrisse inf. int.	Vibrisse sup. int.	Unité	Indice de fiabilité
PCB 28	50	98	491	0.005	0.004	0.760	0.000	0.001	0.004	0.008	0.010	0.010	0.00	0.02	mg/kg	**
PCB 52	50	100	500	0.005	0.004	0.760	0.000	0.001	0.004	0.008	0.010	0.010	0.00	0.02	mg/kg	**
PCB 101	50	98	491	0.005	0.004	0.760	0.000	0.001	0.004	0.008	0.010	0.010	0.00	0.02	mg/kg	**
PCB 118	50	96	482	0.005	0.004	0.760	0.000	0.001	0.004	0.008	0.010	0.010	0.00	0.02	mg/kg	**
PCB 138	50	90	455	0.005	0.005	0.890	0.000	0.002	0.004	0.008	0.010	0.010	0.00	0.02	mg/kg	**
PCB 153	50	92	464	0.005	0.004	0.740	0.000	0.001	0.004	0.008	0.010	0.010	0.00	0.02	mg/kg	**
PCB 180	50	92	464	0.007	0.012	1.700	0.000	0.002	0.004	0.008	0.010	0.012	0.00	0.02	mg/kg	**
Somme 7 PCBi	50	0	50	0.003	0.017	4.800	0.000	0.000	0.000	0.000	0.000	0.011	0.00	0.00	mg/kg	**

Paramètre	Nb.	<LQ(%)	Nb.¦isc.	Moyenne	Ecart type	CV(%)	Q10	Q25	Médiane	Q75	Q90	Q95	Vibrisse inf. int.	Vibrisse sup. int.	Unité	Indice de fiabilité
2-3-7-8-TCDD	22	100	220	0	0	1	0	0	0	0	0	1	-	-	ng/kg	**
1-2-3-7-8-PeCDD	22	95	211	0	0	1	0	0	0	1	1	1	-	-	ng/kg	**
1-2-3-4-7-8-HxCDD	22	90	202	1	0	1	0	0	0	1	1	1	-	-	ng/kg	**
1-2-3-6-7-8-HxCDD	22	59	139	2	3	2	0	0	1	2	3	13	-	-	ng/kg	**
1-2-3-7-8-9-HxCDD	22	77	175	1	1	1	0	0	1	1	2	4	-	-	ng/kg	**
1-2-3-4-6-7-8-HpCDD	22	4	22	30	38	1	7	16	20	31	48	164	-	-	ng/kg	**
OCDD	22	0	22	171	167	1	31	71	97	245	545	560	-	-	ng/kg	**
2-3-7-8-TCDF	22	50	121	1	2	2	0	0	1	1	1	3	-	-	ng/kg	*
1-2-3-7-8-PeCDF	22	77	175	1	1	1	0	0	0	1	1	2	-	-	ng/kg	*
2-3-4-7-8-PeCDF	22	68	157	1	1	1	0	0	0	1	1	3	-	-	ng/kg	**
1-2-3-4-7-8-HxCDF	22	45	112	1	1	1	0	0	1	2	3	3	-	-	ng/kg	**
1-2-3-6-7-8-HxCDF	22	54	130	1	1	1	0	0	1	1	3	4	-	-	ng/kg	**
1-2-3-7-8-9-HxCDF	22	95	211	0	0	1	0	0	0	1	1	1	-	-	ng/kg	**
2-3-4-6-7-8-HxCDF	22	50	121	1	1	1	0	0	1	2	3	4	-	-	ng/kg	**
1-2-3-4-6-7-8-HpCDF	22	36	94	7	9	1	1	3	4	7	15	37	-	-	ng/kg	**
1-2-3-4-7-8-9-HpCDF	22	95	211	1	2	1	0	0	1	2	5	6	-	-	ng/kg	**
OCDF	22	54	130	10	9	1	1	3	6	16	23	31	-	-	ng/kg	**
Somme dioxines-furanes TEQ	22	0	22	3	1	0	2	2	3	4	5	7	-	-	ng/kg	**

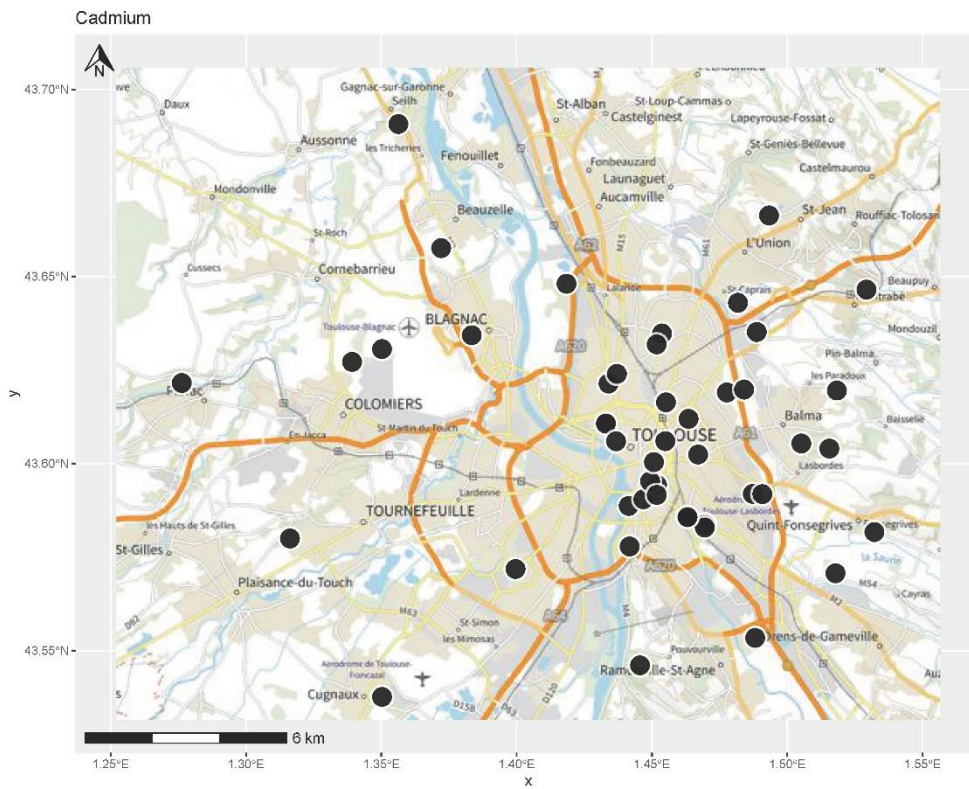
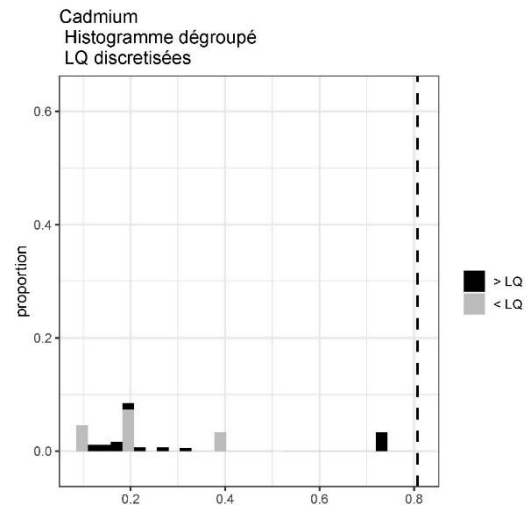
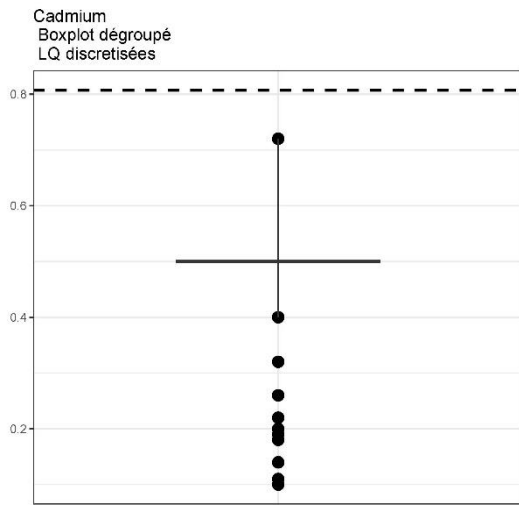
4. Diagrammes en boîte, histogrammes et cartes

4.1. ELEMENTS

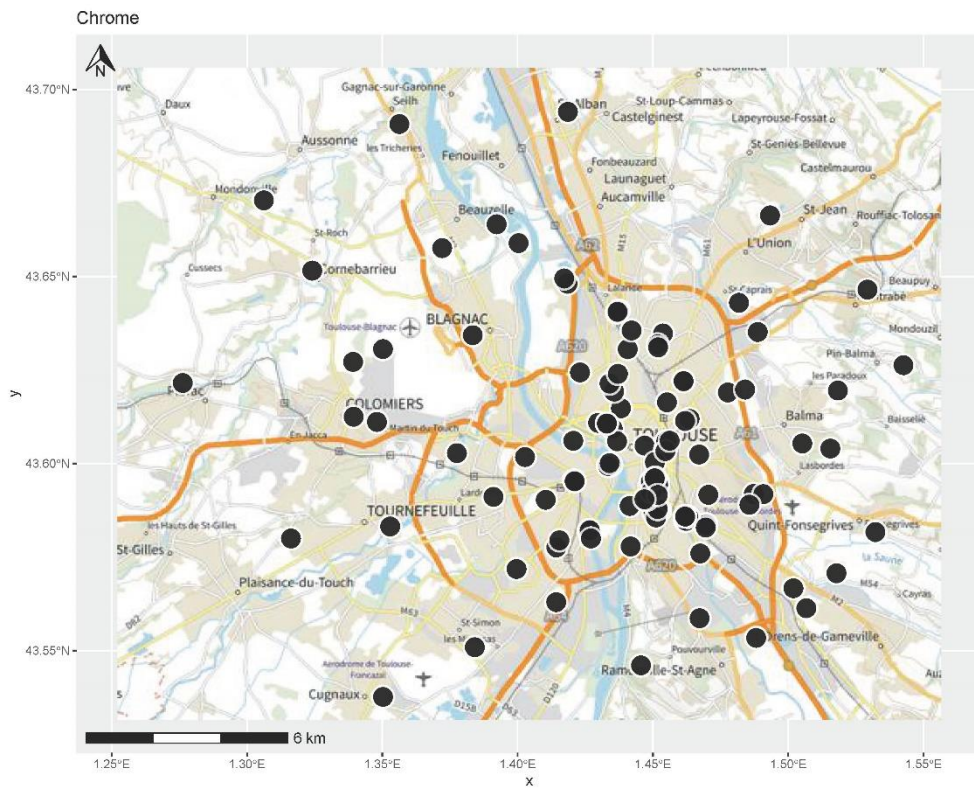
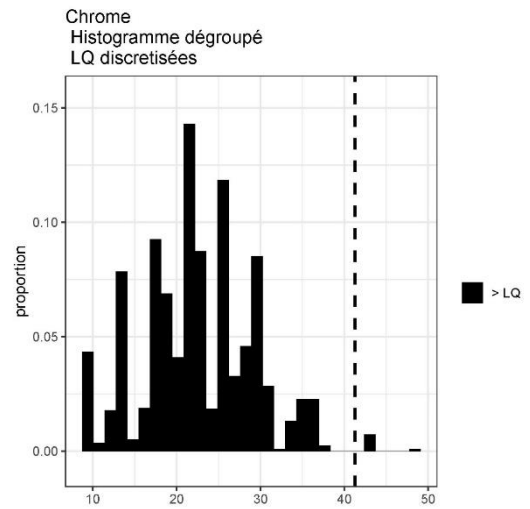
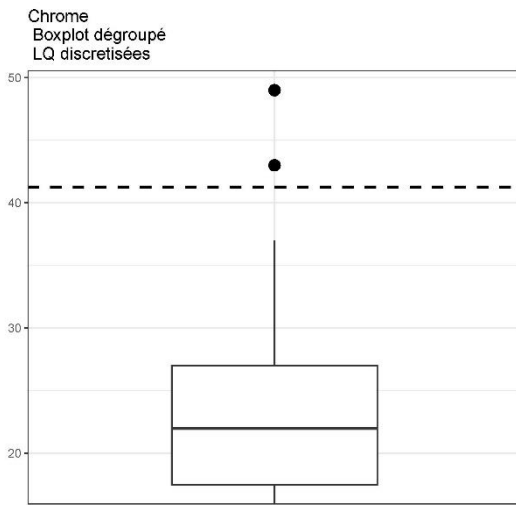
4.1.1. Arsenic



4.1.2. Cadmium

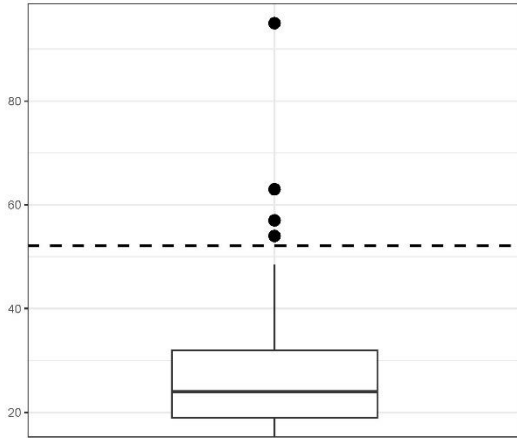


4.1.3. Chrome

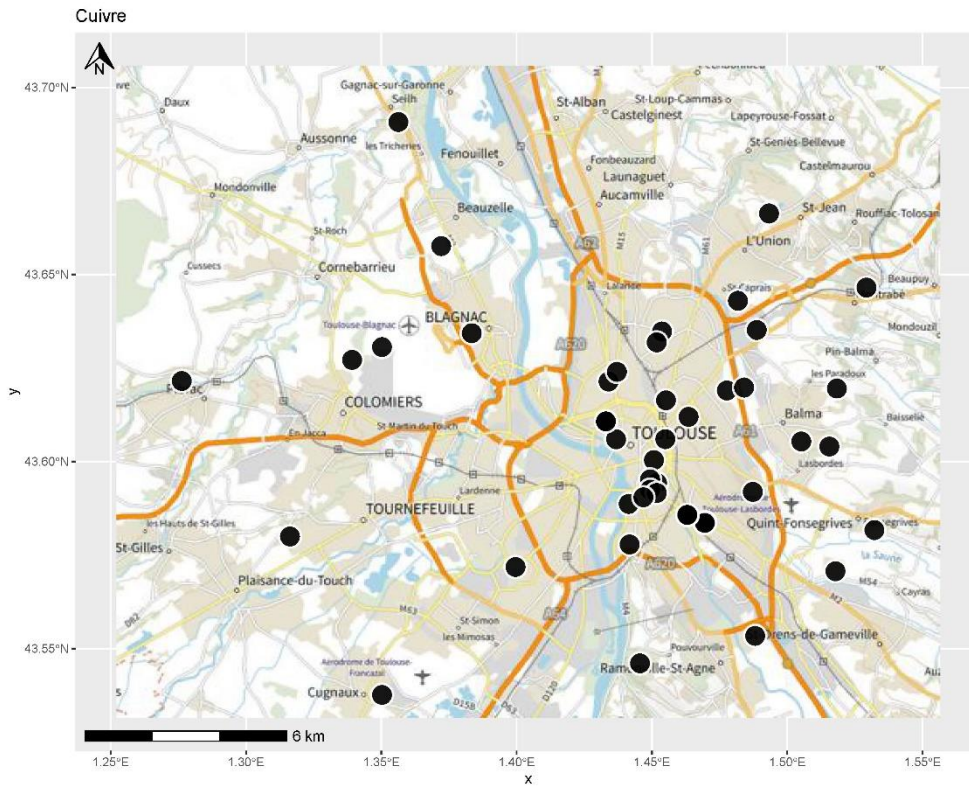
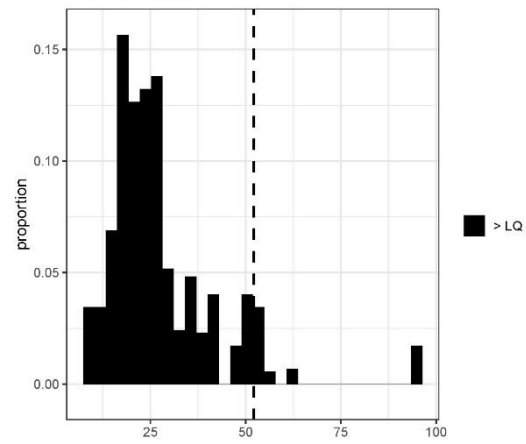


4.1.4. Cuivre

Cuivre
Boxplot dégroupé
LQ discretisées

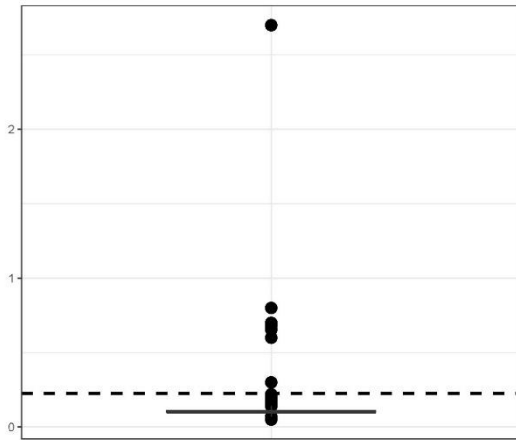


Cuivre
Histogramme dégroupé
LQ discretisées

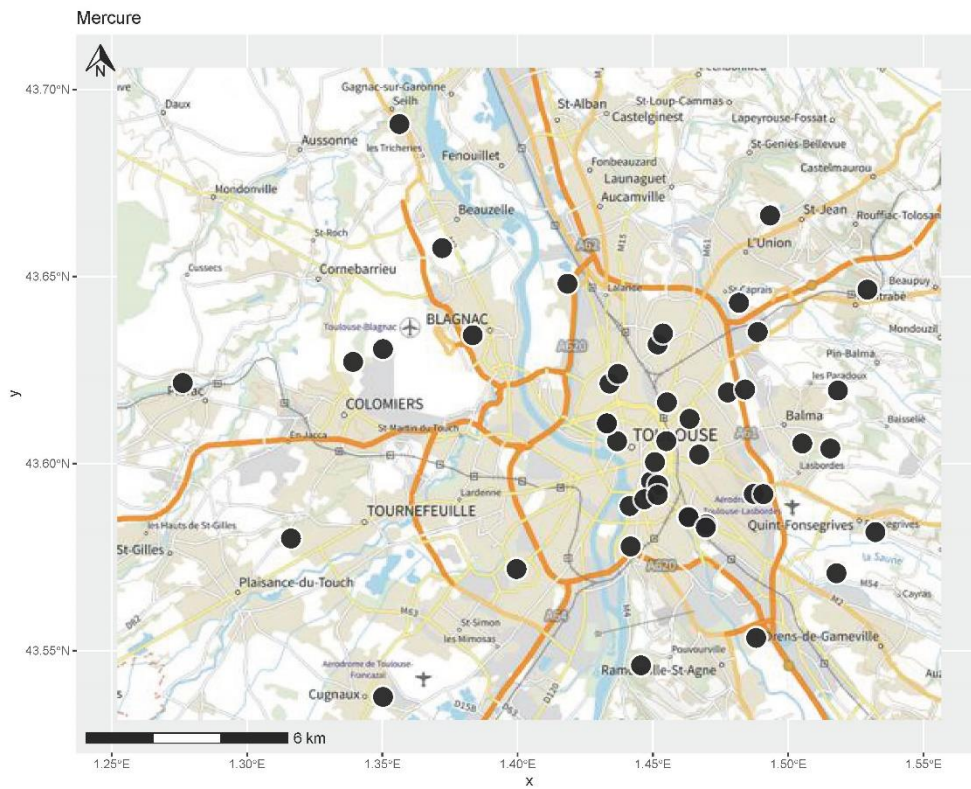
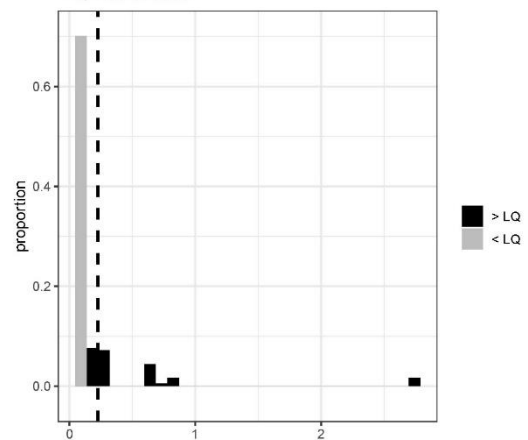


4.1.5. Mercure

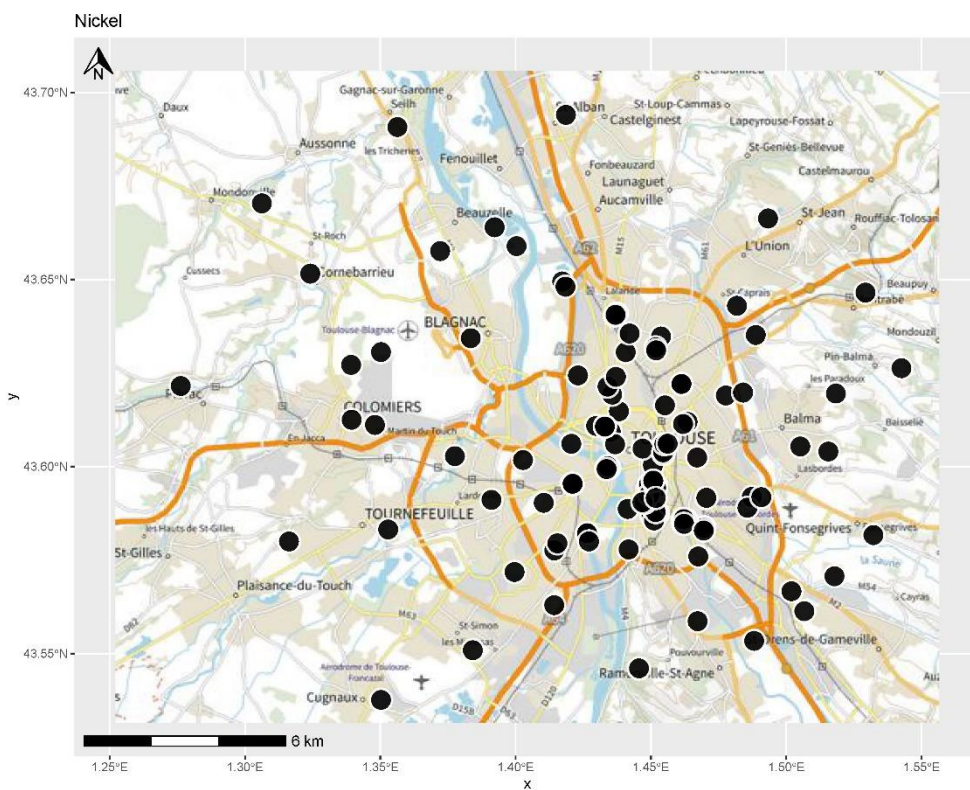
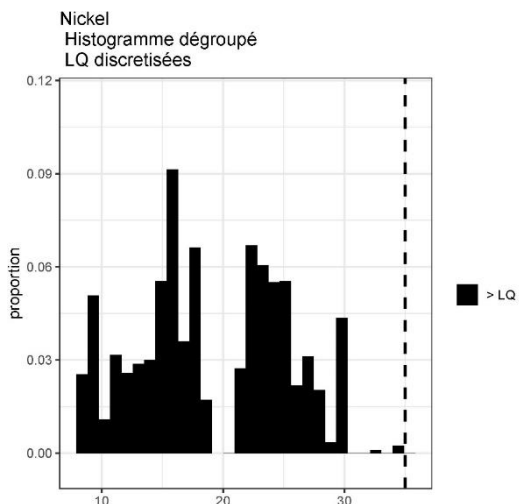
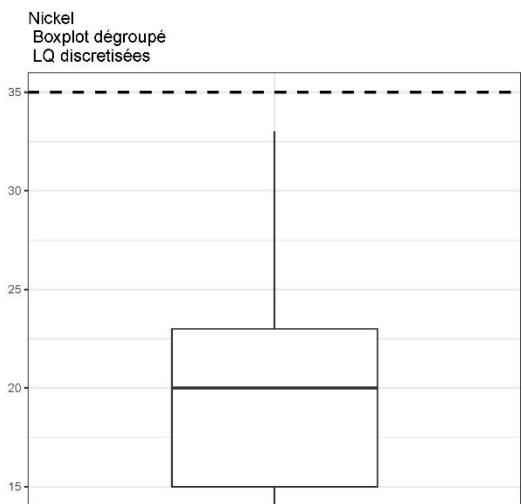
Mercure
Boxplot dégroupé
LQ discretisées



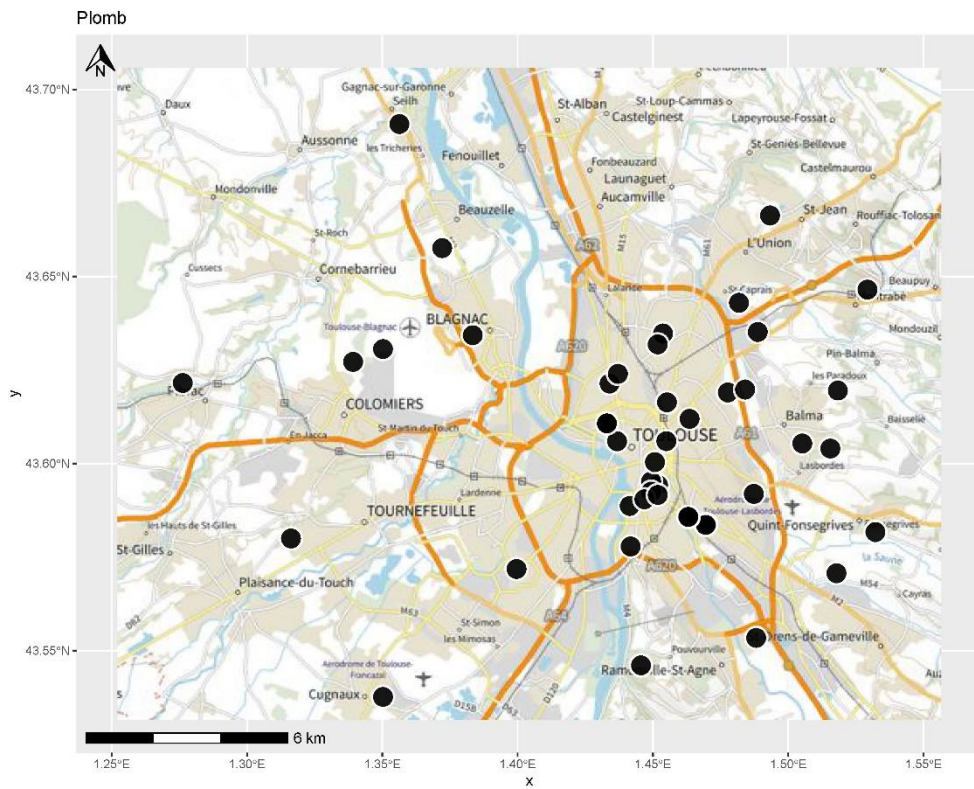
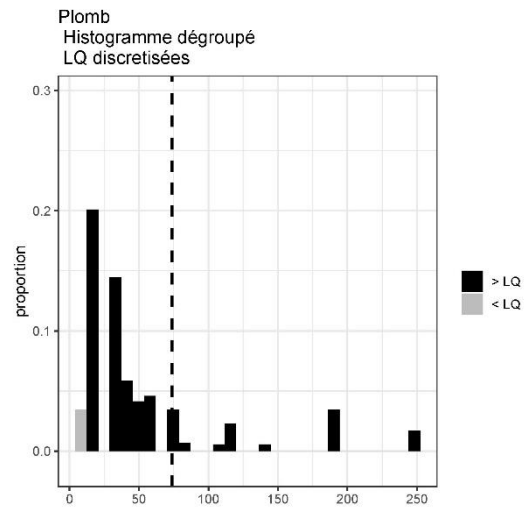
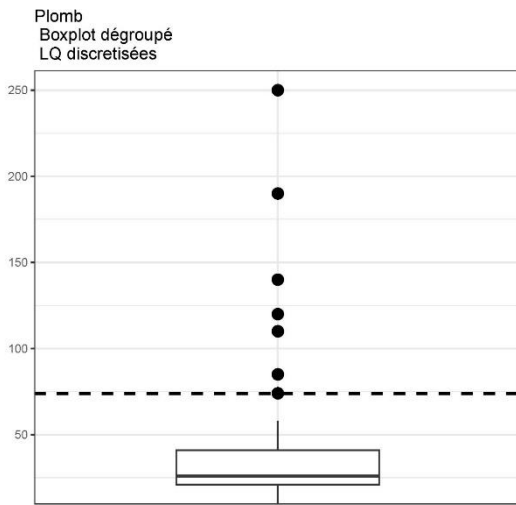
Mercure
Histogramme dégroupé
LQ discretisées



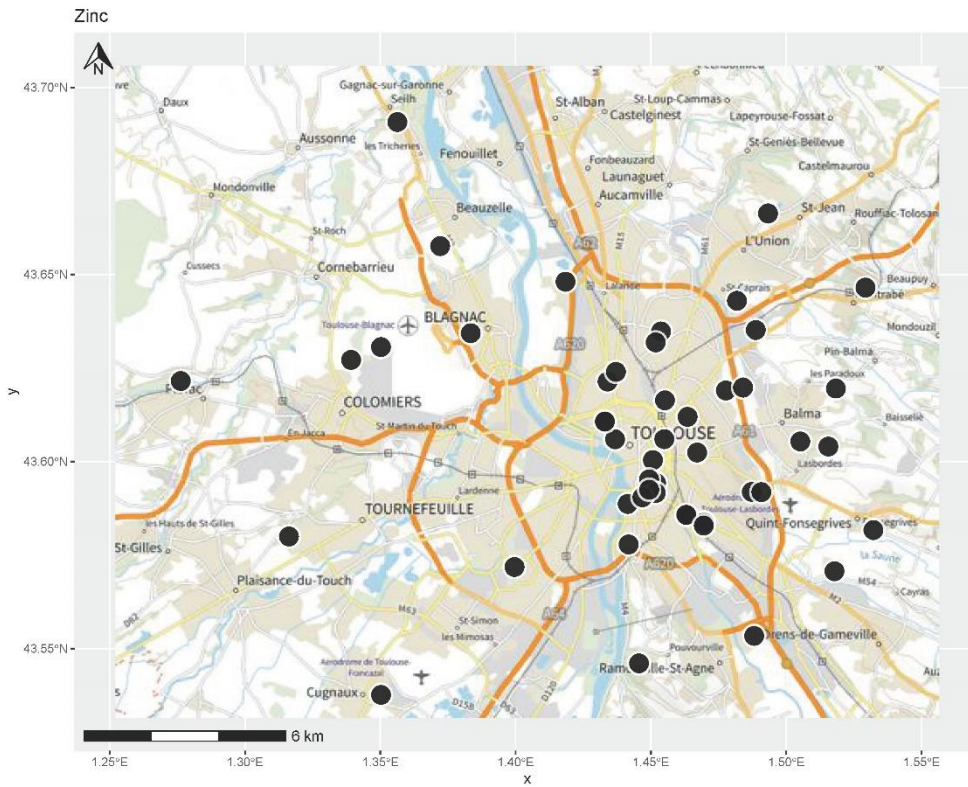
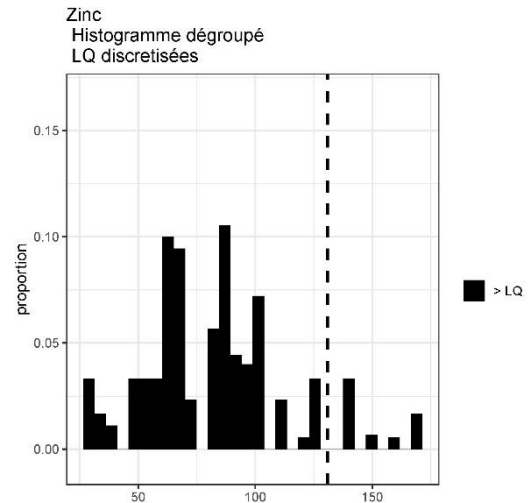
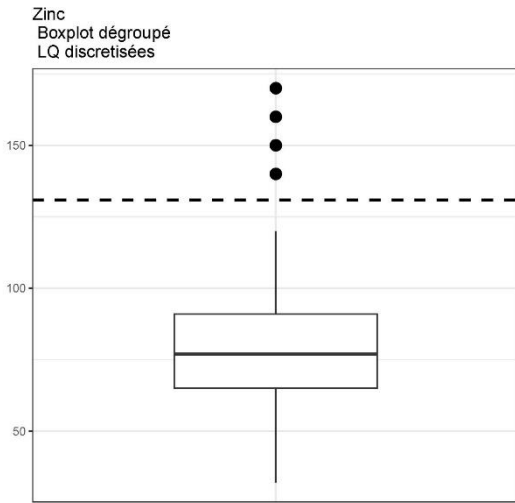
4.1.6. Nickel



4.1.7. Plomb



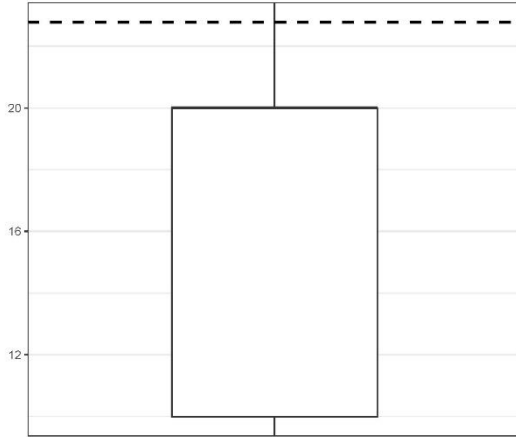
4.1.8. Zinc



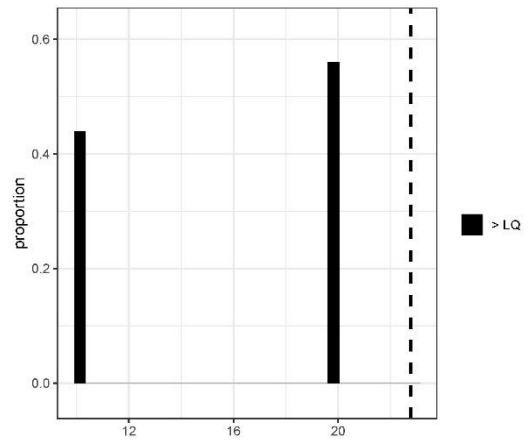
4.2. COUPES HYDROCARBURES

4.2.1. C10-C12

C10-C12-Coupes hydrocarbures
Boxplot dégroupé
LQ discretisées

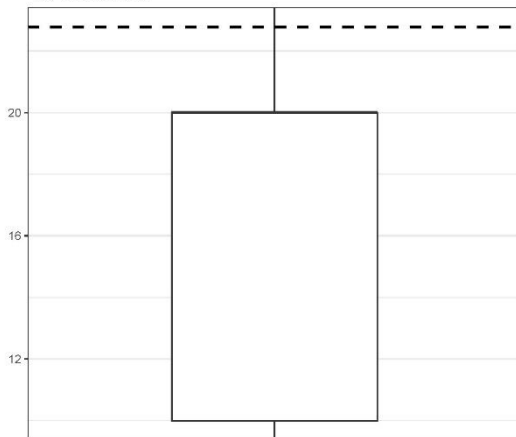


C10-C12-Coupes hydrocarbures
Histogramme dégroupé
LQ discretisées

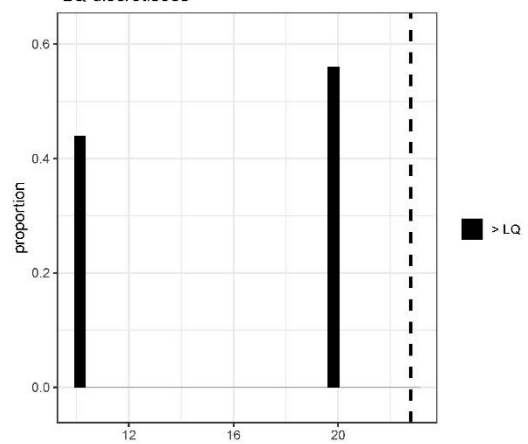


4.2.2. C12-C16

C12-C16-Coupes hydrocarbures
Boxplot dégroupé
LQ discretisées

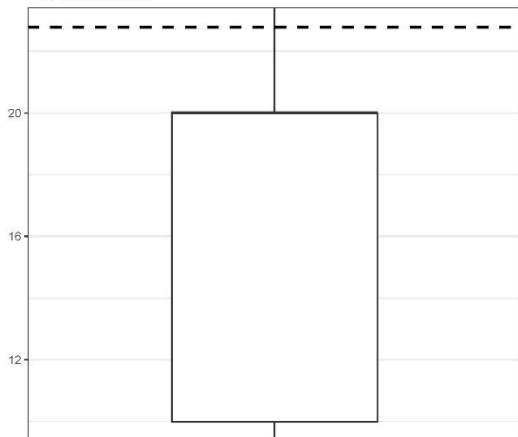


C12-C16-Coupes hydrocarbures
Histogramme dégroupé
LQ discretisées

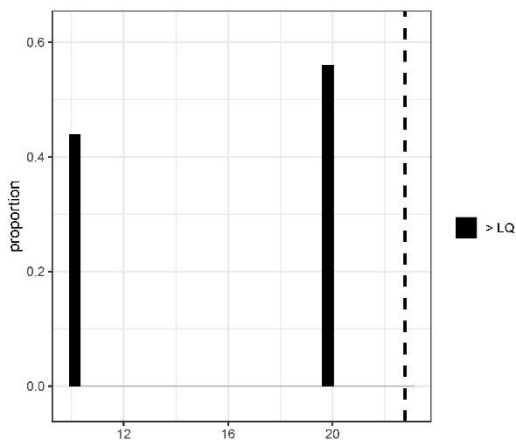


4.2.3. C16-C21

Coupes hydrocarbures C16-C21
Boxplot dégroupé
LQ discretisées

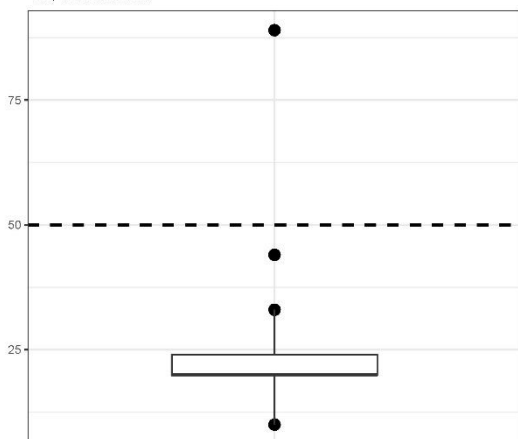


Coupes hydrocarbures C16-C21
Histogramme dégroupé
LQ discretisées

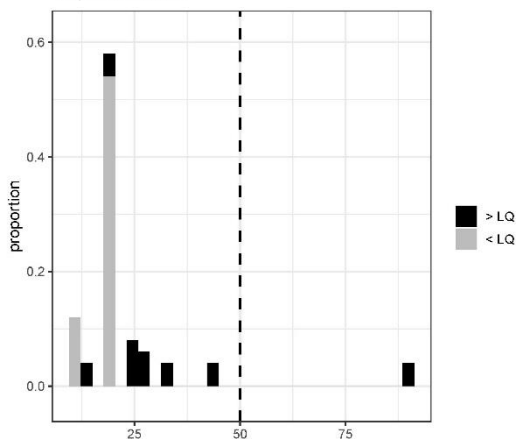


4.2.4. C21-C35

Coupes hydrocarbures C21-C35
Boxplot dégroupé
LQ discretisées

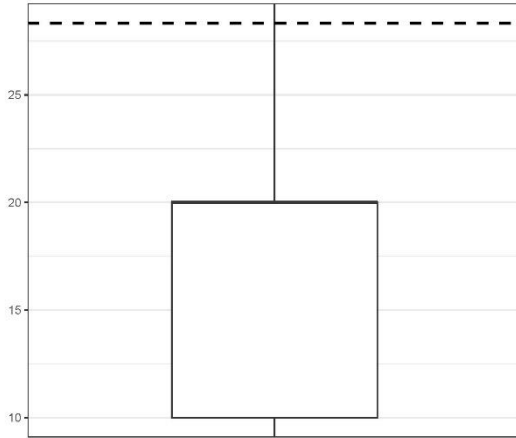


Coupes hydrocarbures C21-C35
Histogramme dégroupé
LQ discretisées

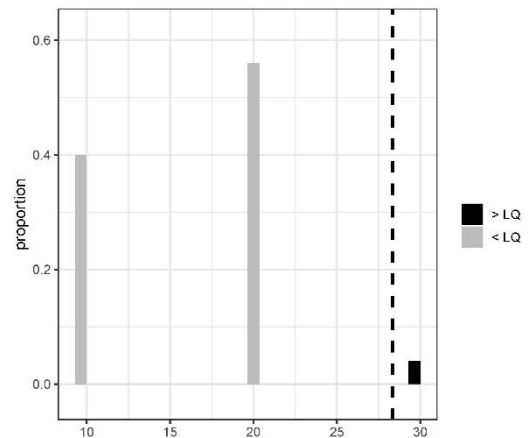


4.2.5. C35-C40

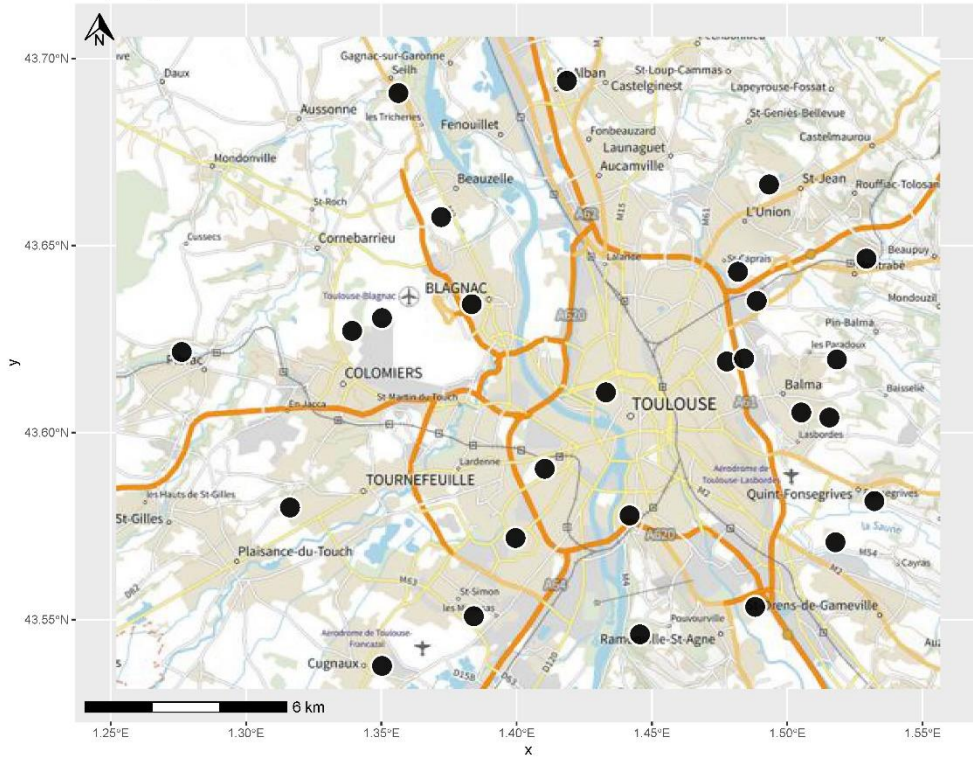
Coupes hydrocarbures C35-C40
Boxplot dégroupé
LQ discretisées



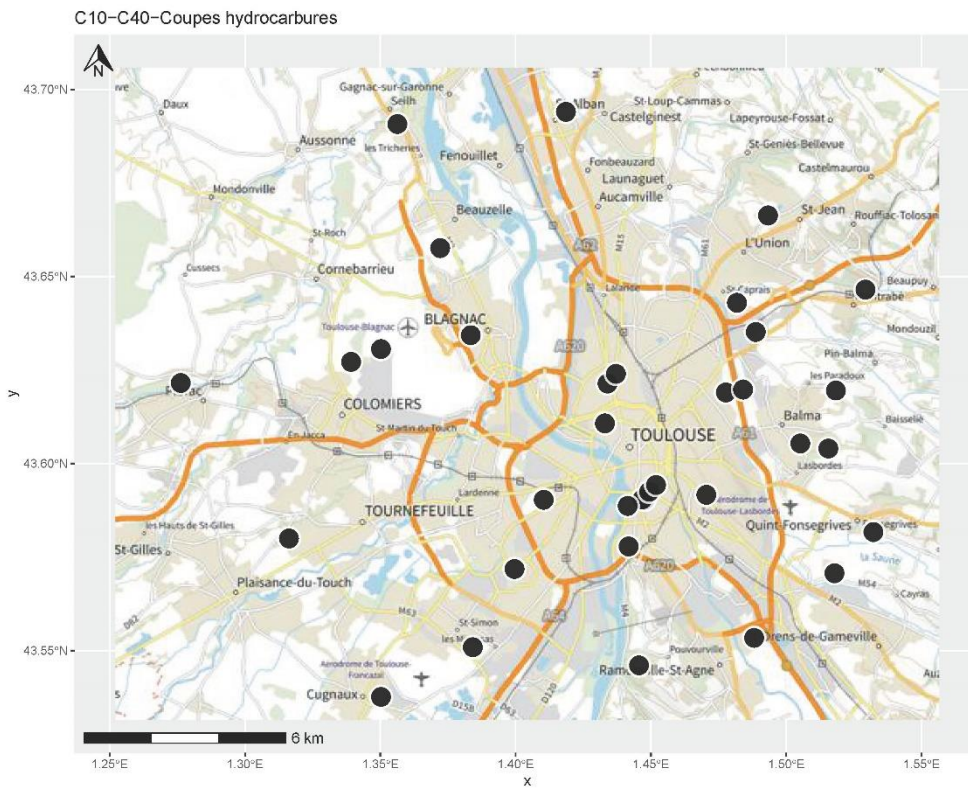
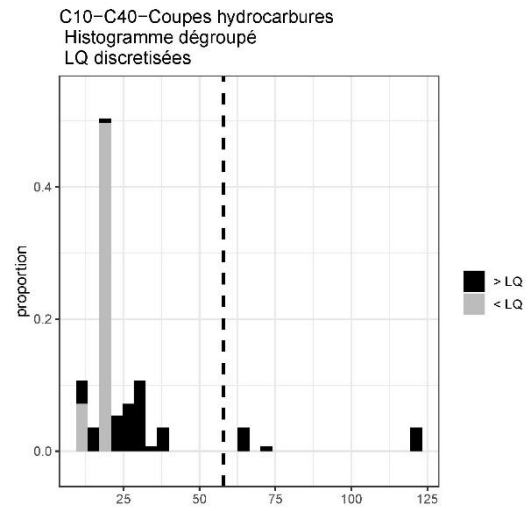
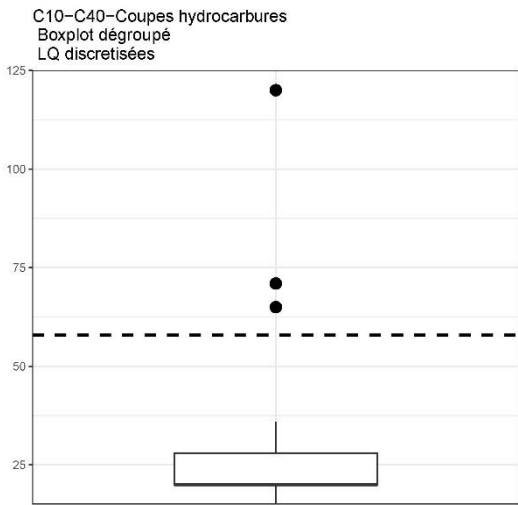
Coupes hydrocarbures C35-C40
Histogramme dégroupé
LQ discretisées



Coupes hydrocarbures C35-C40

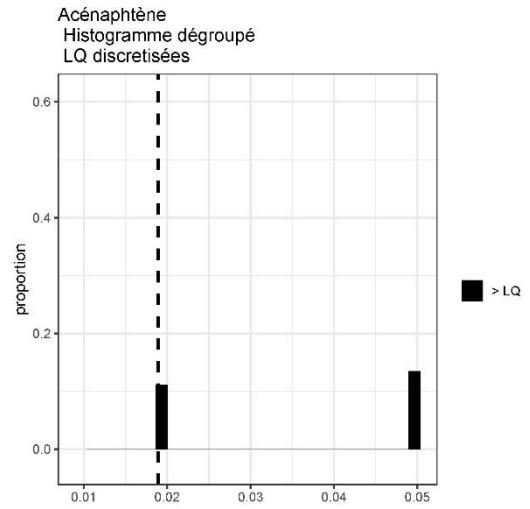
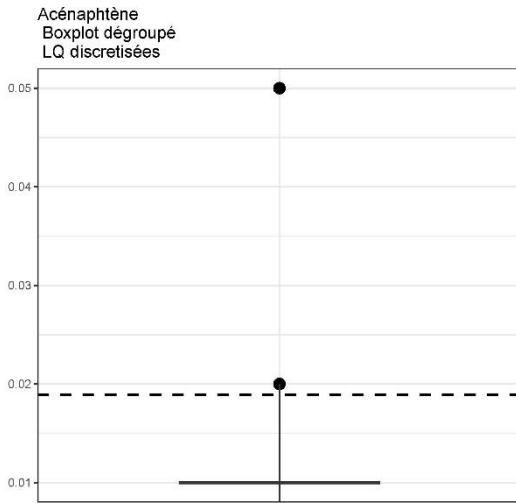


4.2.6. C10-C40

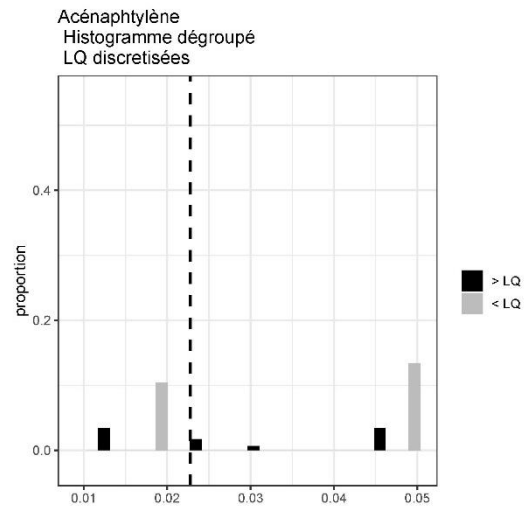
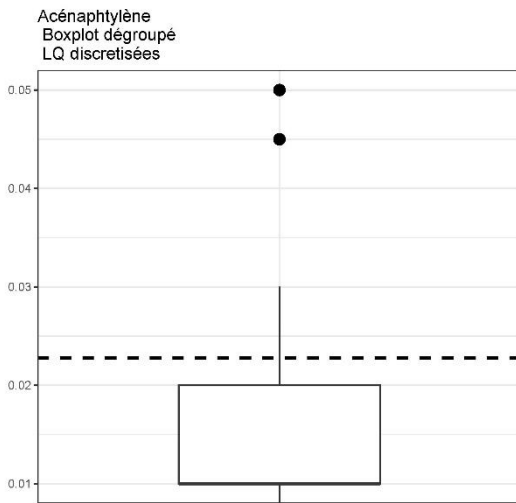


4.3. HYDROCARBURES AROMATIQUES POLYCYCLIQUES

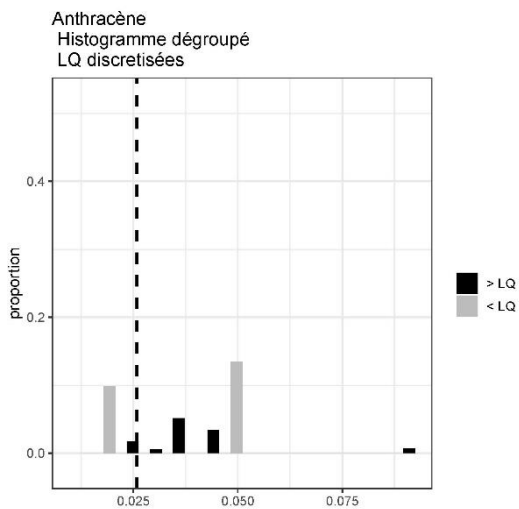
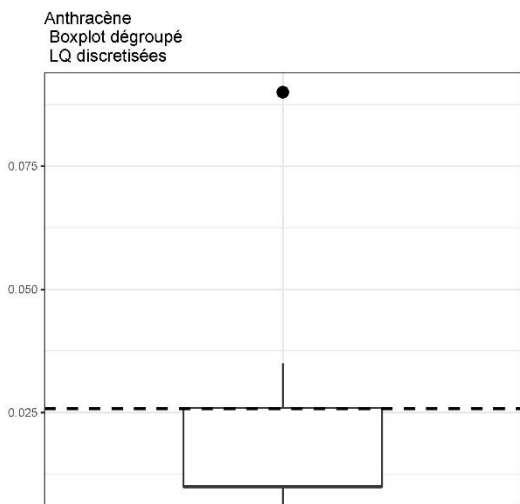
4.3.1. Acénaphène



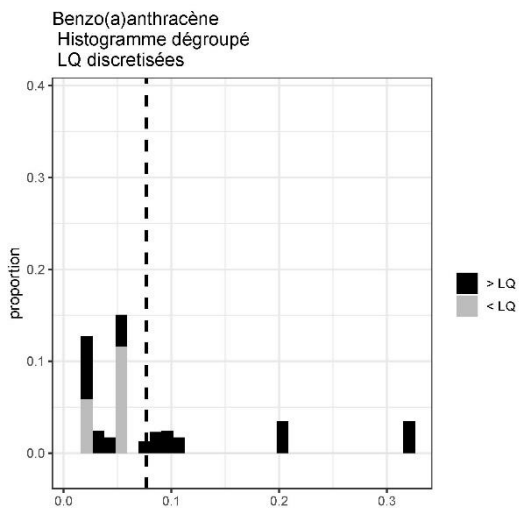
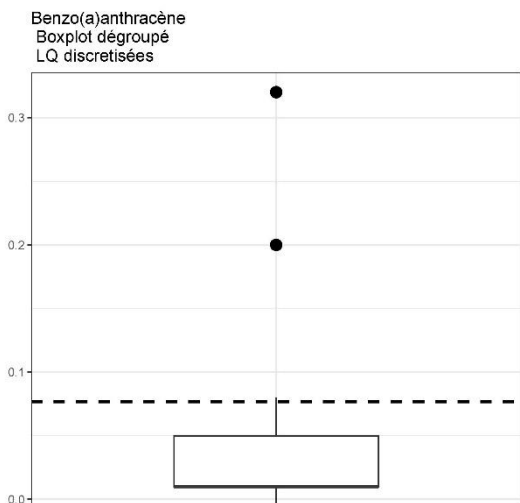
4.3.2. Acénaphthylène



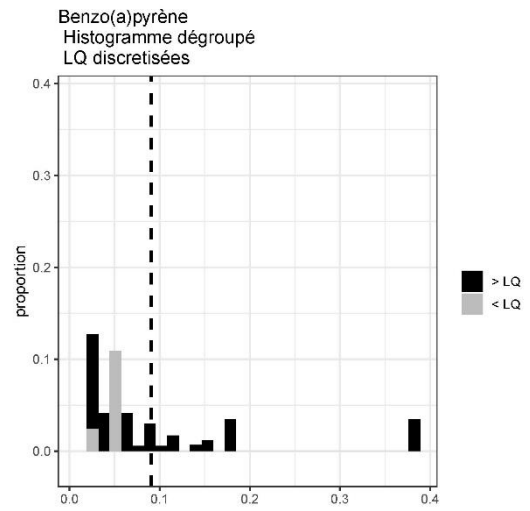
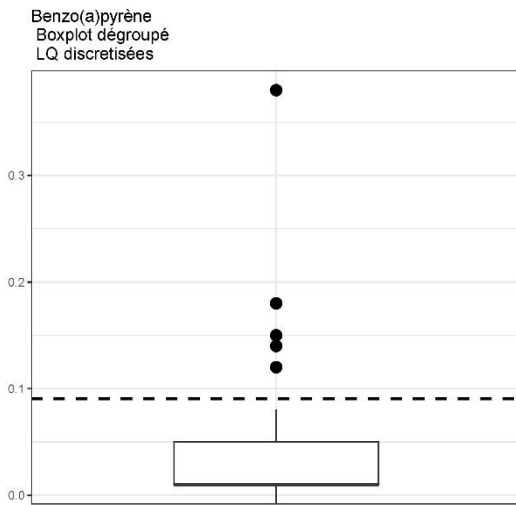
4.3.3. Anthracène



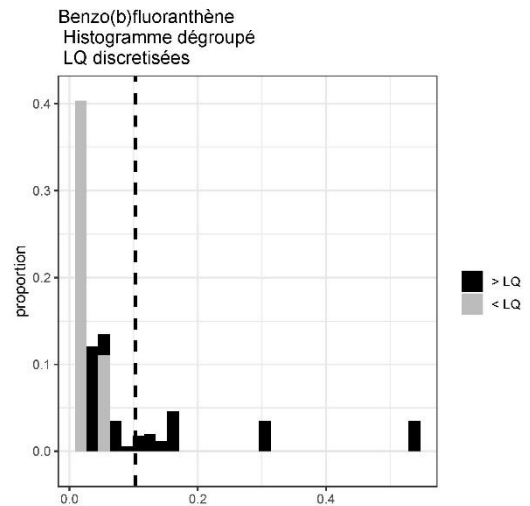
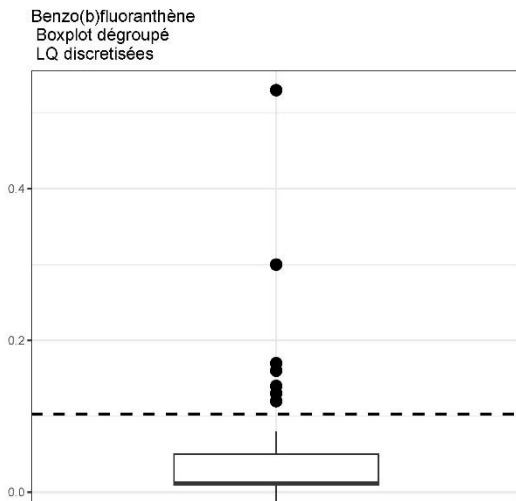
4.3.4. Benzo[a]anthracène



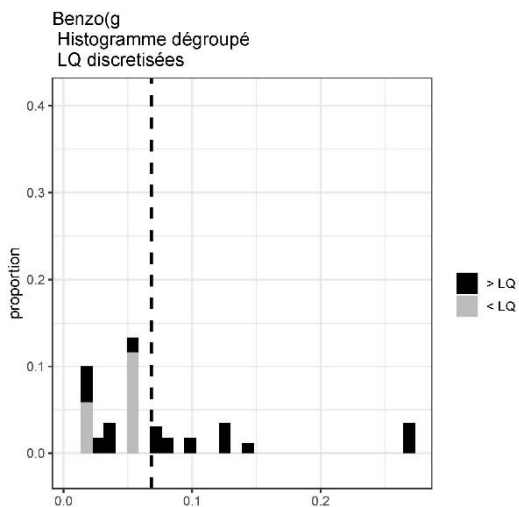
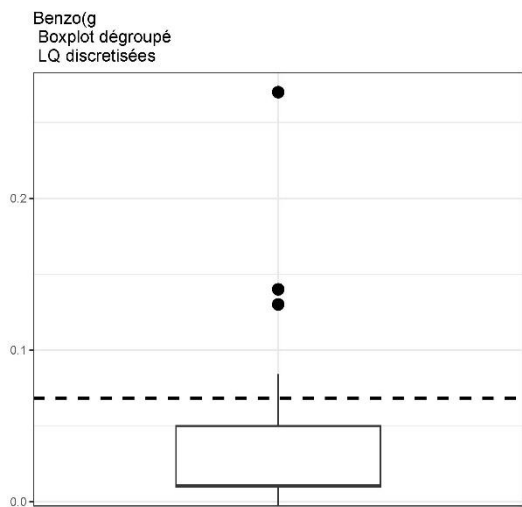
4.3.5. Benzo[a]pyrène



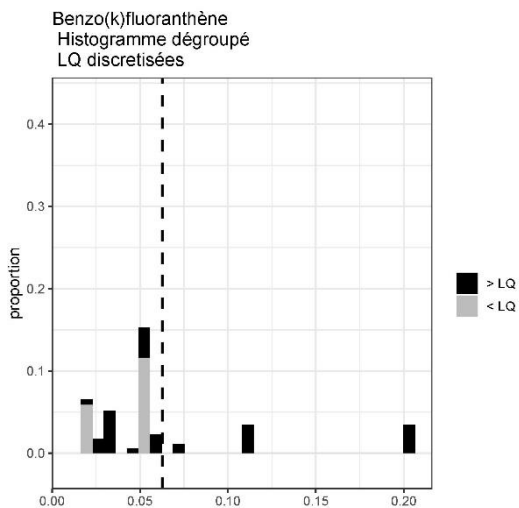
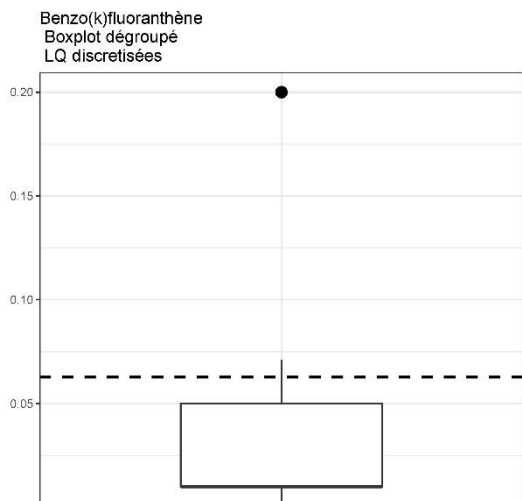
4.3.6. Benzo[b]fluoranthène



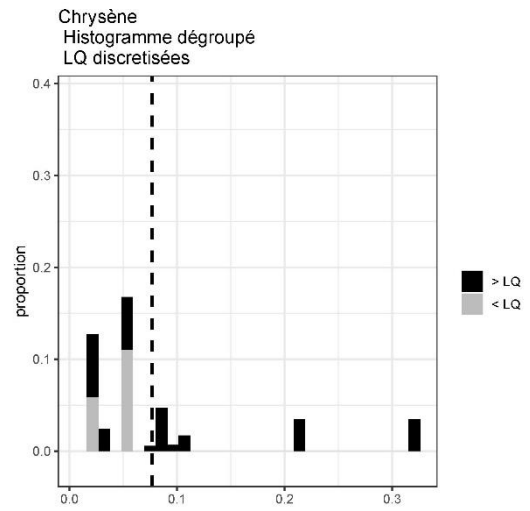
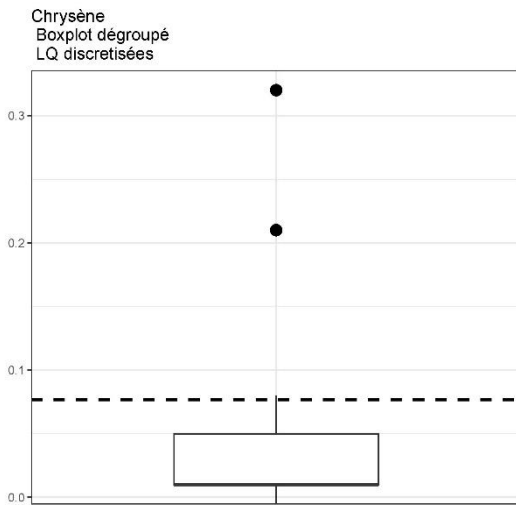
4.3.7. Benzo[ghi]pérylène



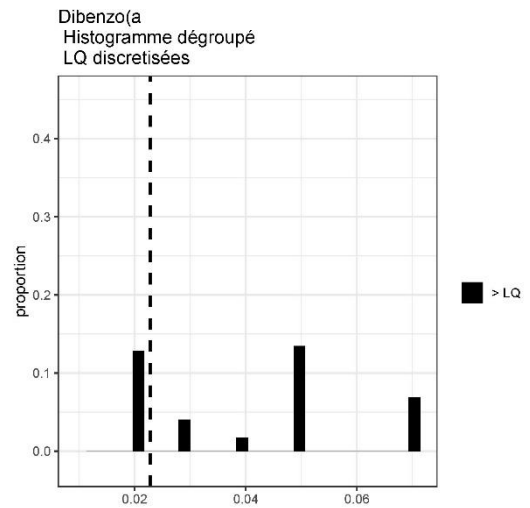
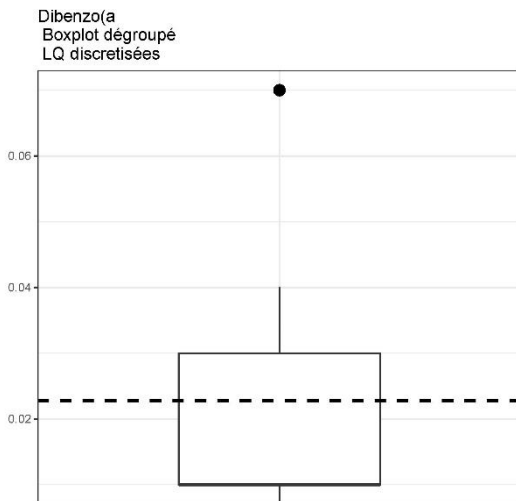
4.3.8. Benzo[k]fluoranthène



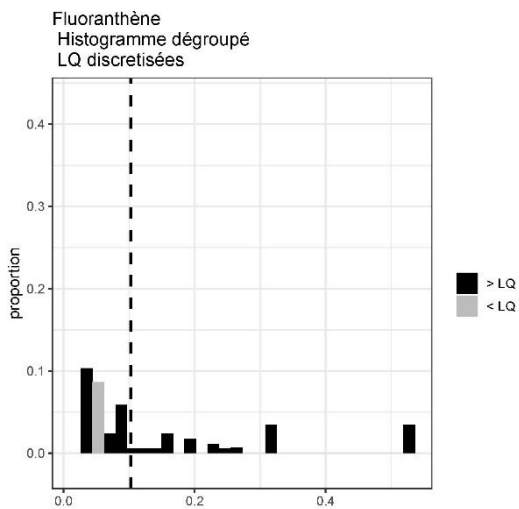
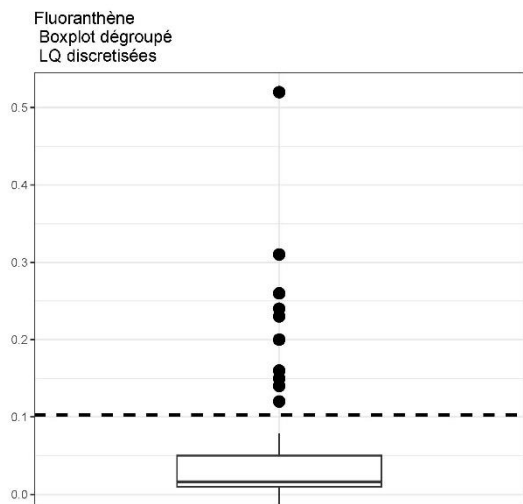
4.3.9. Chrysène



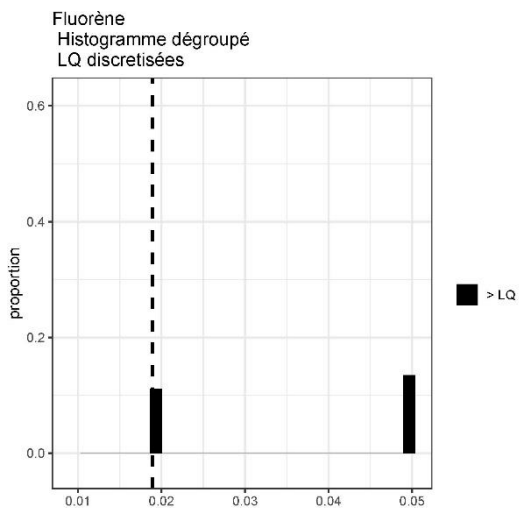
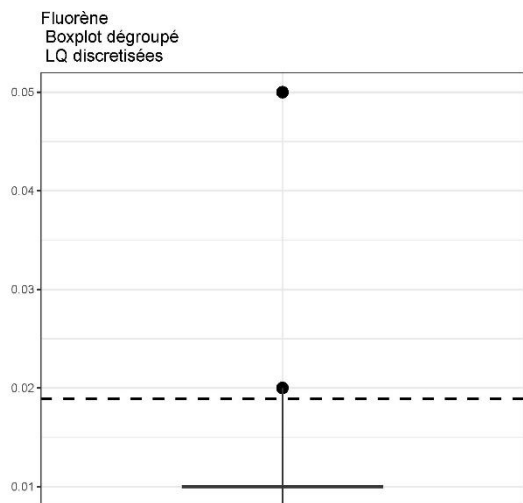
4.3.10. Dibenzo[a,h]anthracène



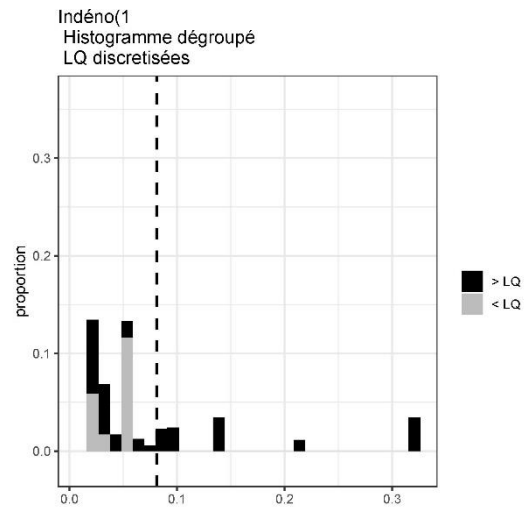
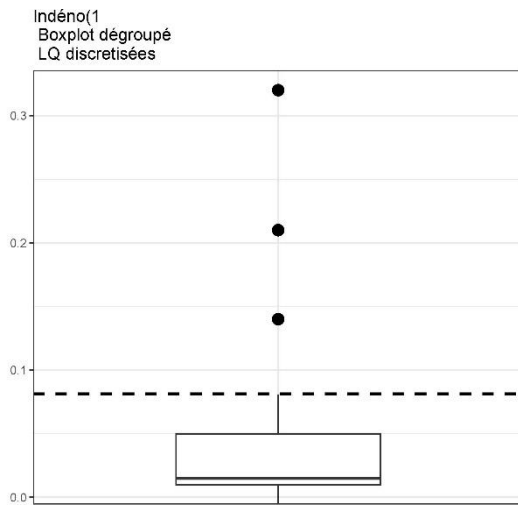
4.3.11. Fluoranthène



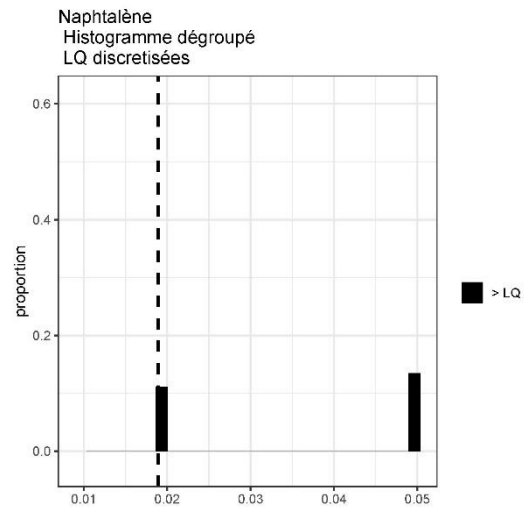
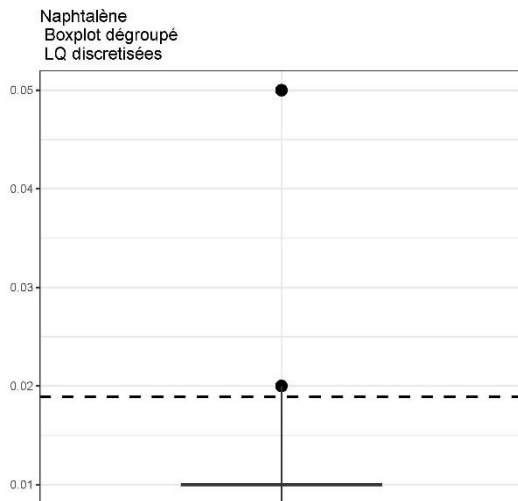
4.3.12. Fluorène



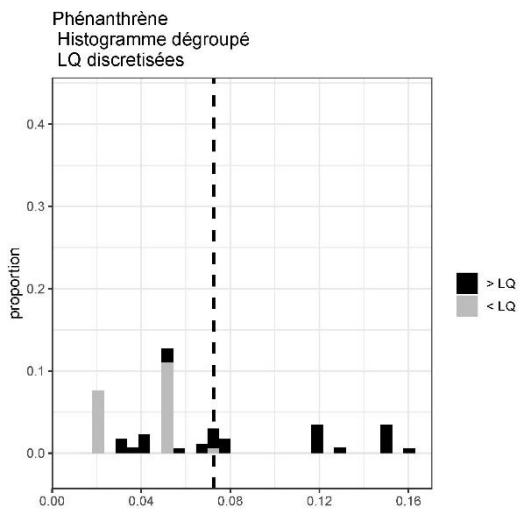
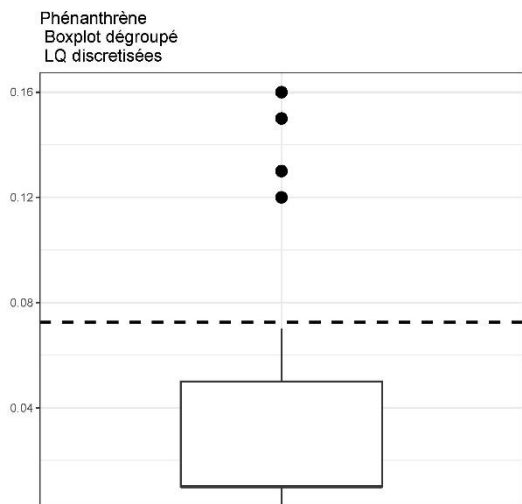
4.3.13. Indéno[1,2,3-cd]pyrène



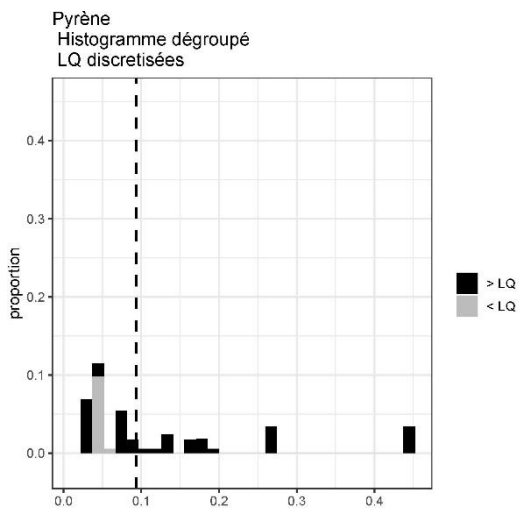
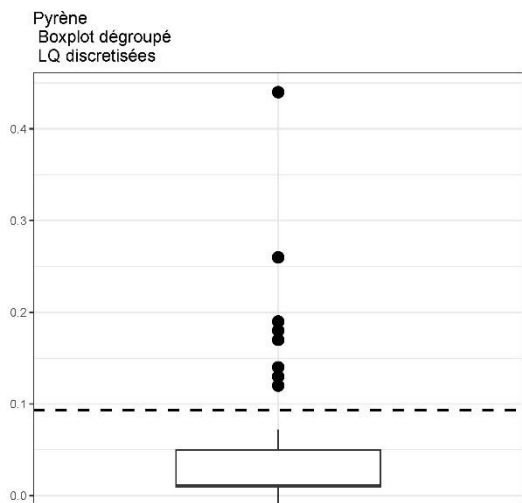
4.3.14. Naphtalène



4.3.15. Phénanthrène

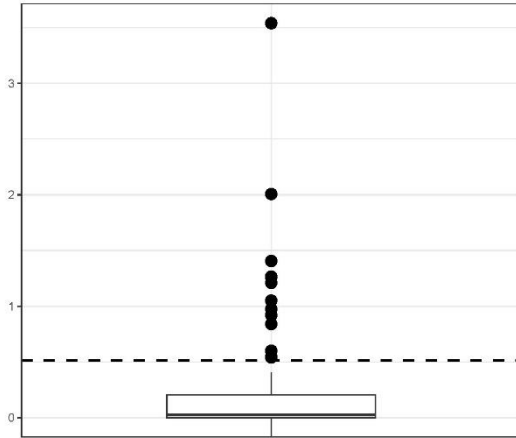


4.3.16. Pyrène

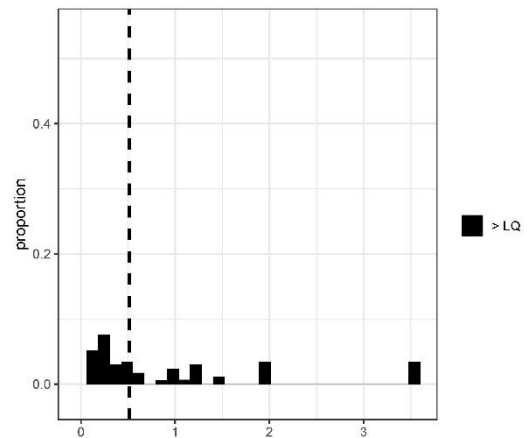


4.3.17. Somme des 16 HAP US EPA

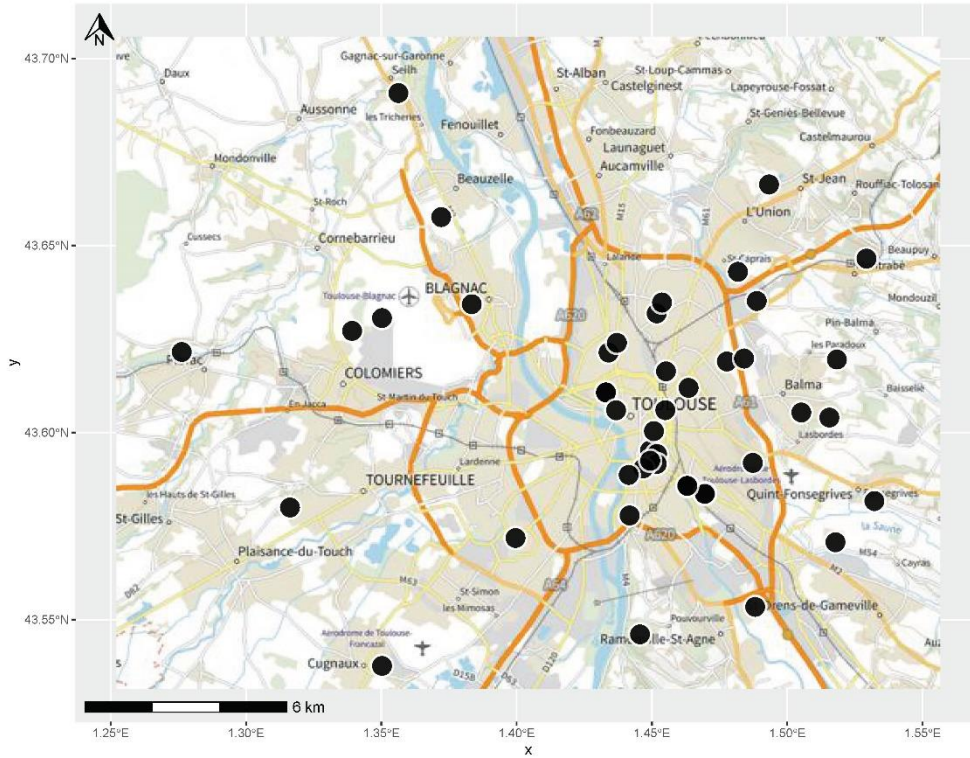
Somme 16 HAP US EPA
Boxplot dégroupé
LQ discretisées



Somme 16 HAP US EPA
Histogramme dégroupé
LQ discretisées

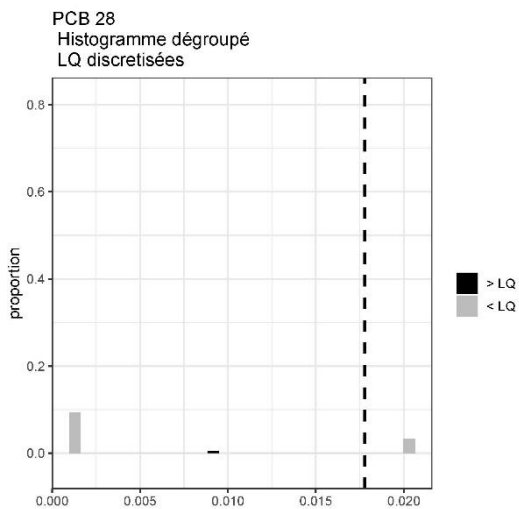
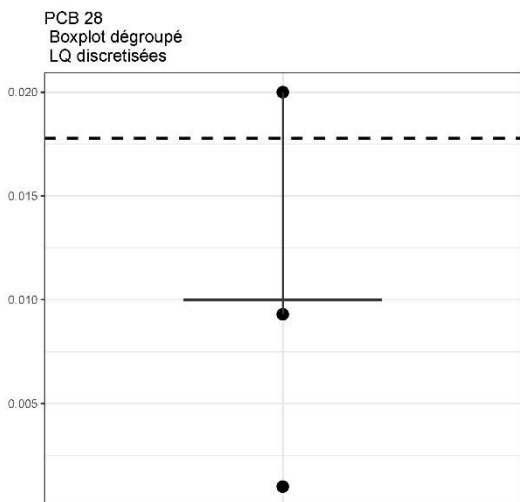


Somme 16 HAP US EPA

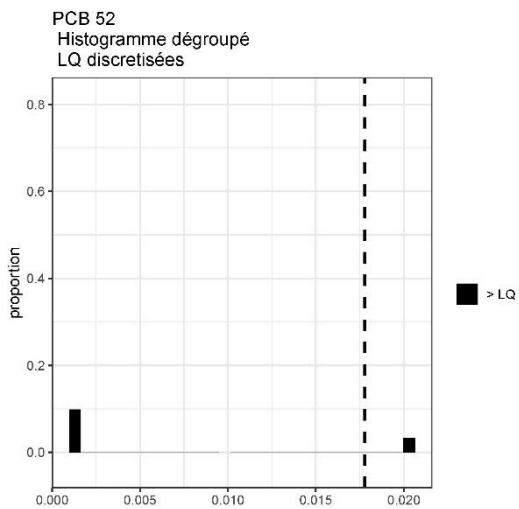
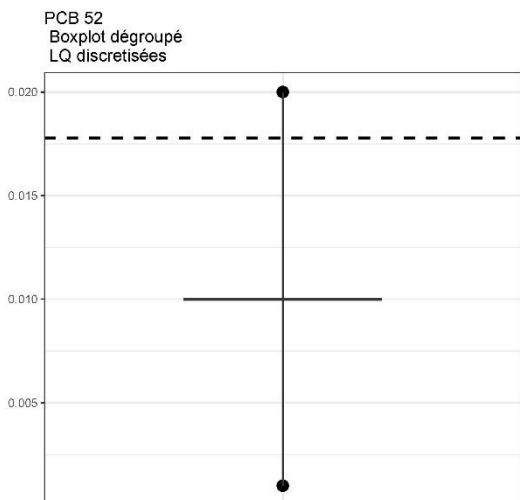


4.4. POLYCHLOROBIPHENYLES

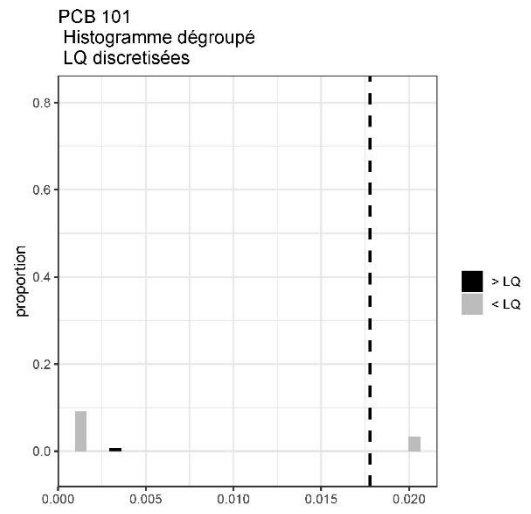
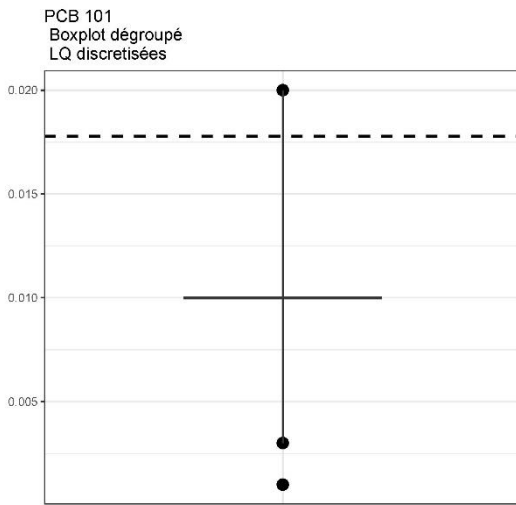
4.4.1. PCB 28



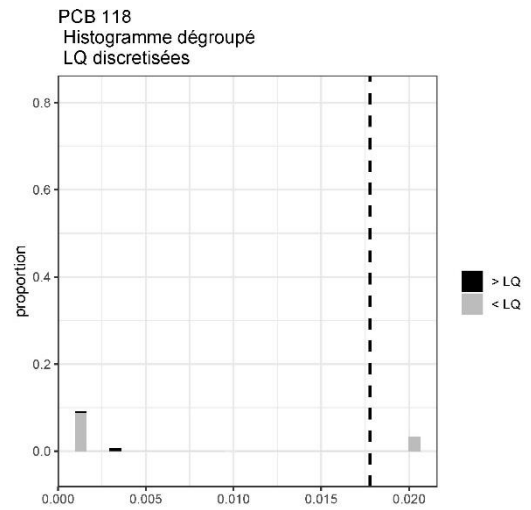
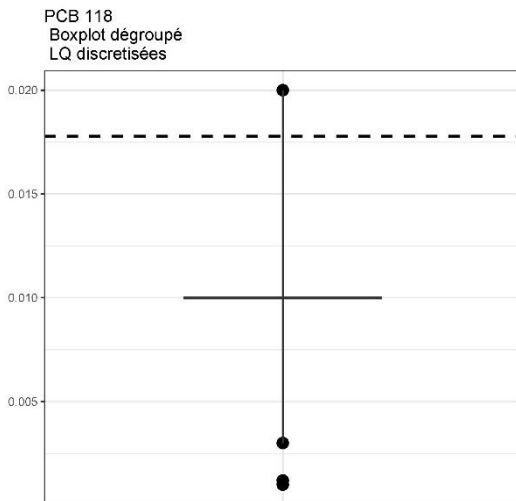
4.4.2. PCB 52



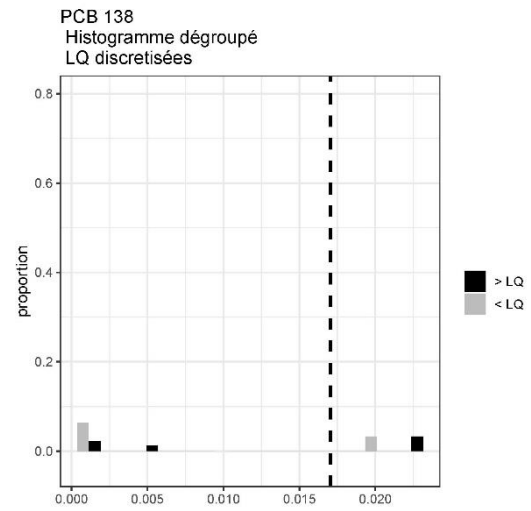
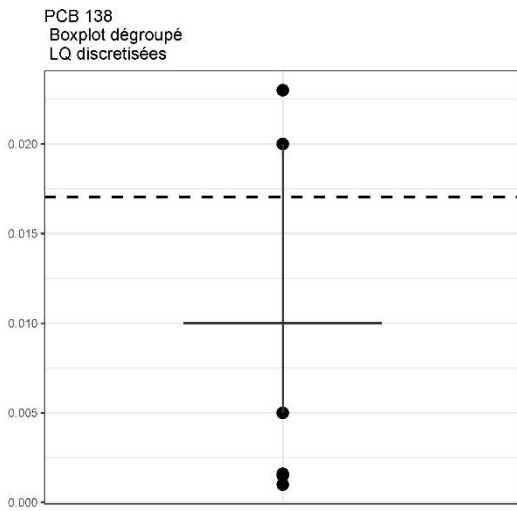
4.4.3. PCB 101



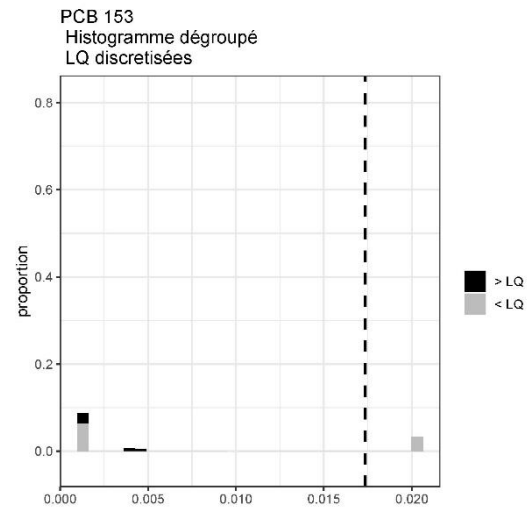
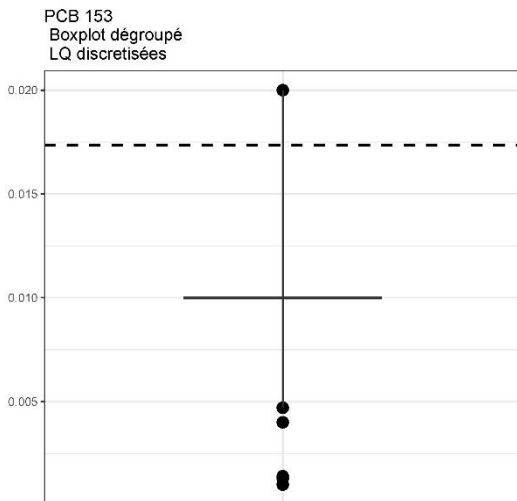
4.4.4. PCB 118



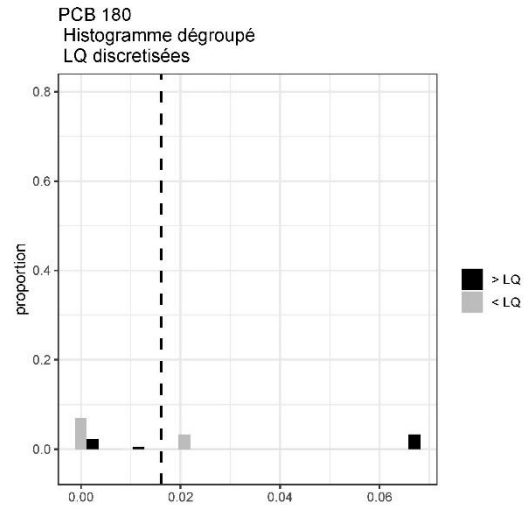
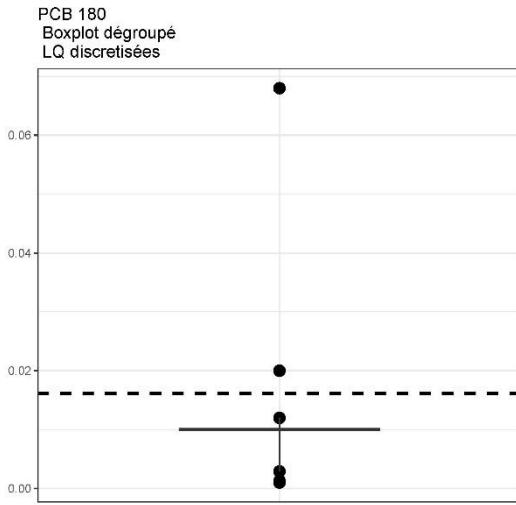
4.4.5. PCB 138



4.4.6. PCB 153

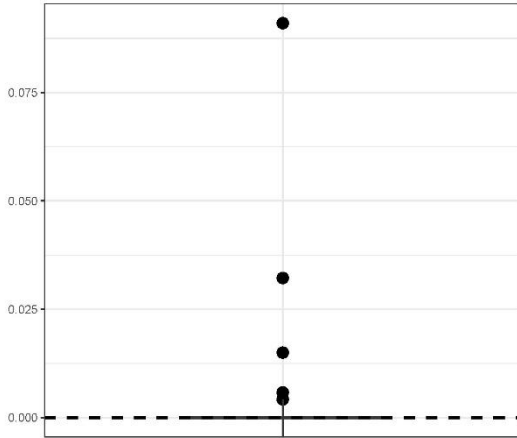


4.4.7. PCB 180

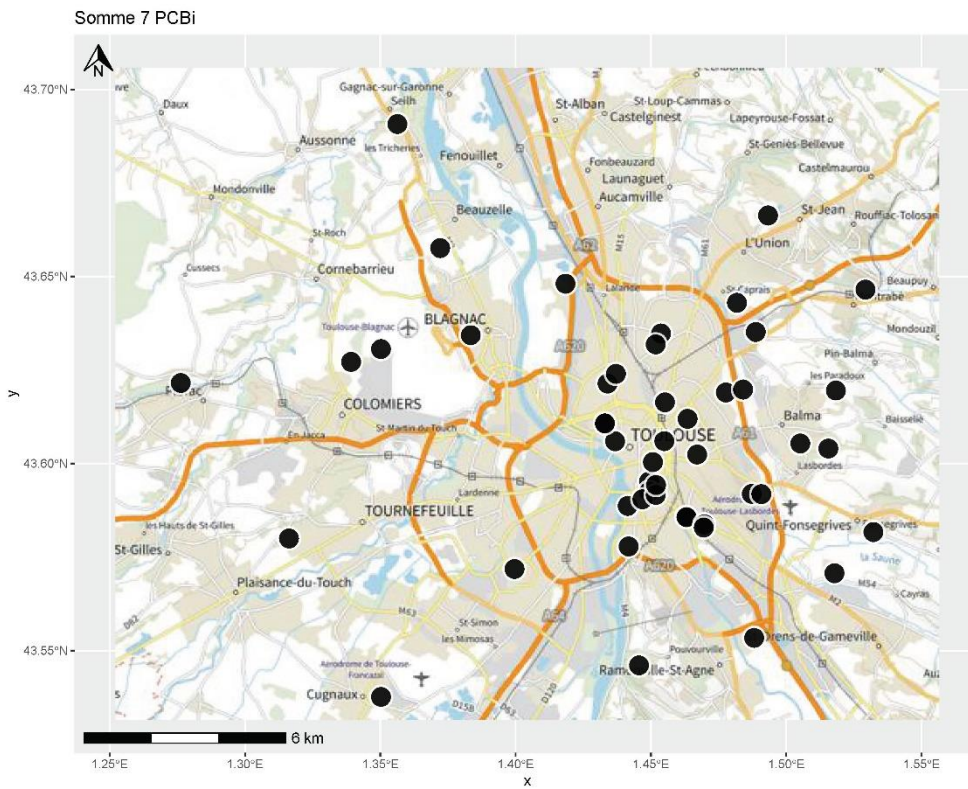
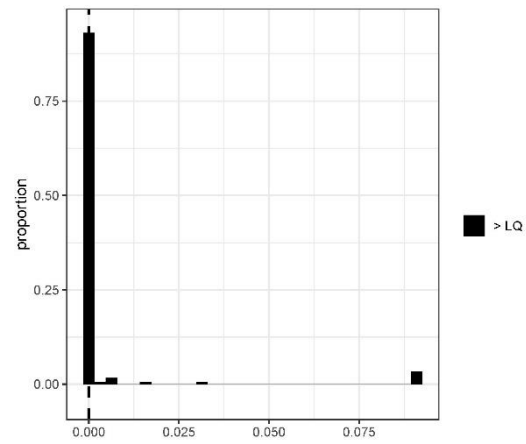


4.4.8. Somme des 7 PCB indicateurs

Somme 7 PCBi
Boxplot dégroupé
LQ discretisées

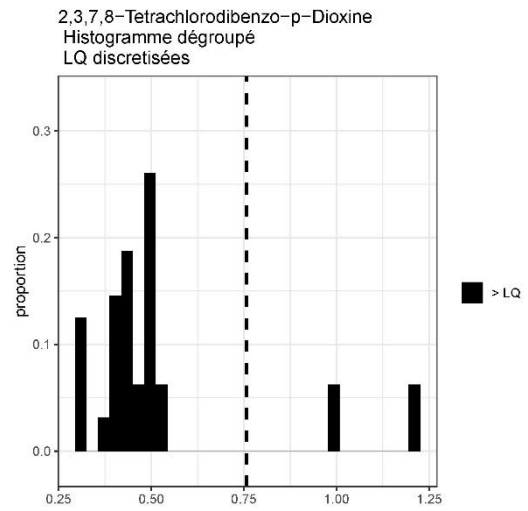
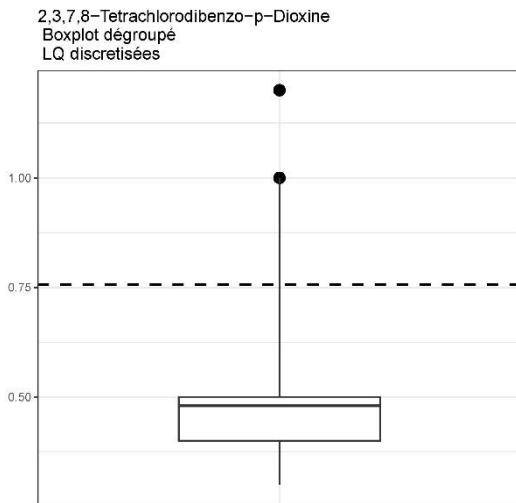


Somme 7 PCBi
Histogramme dégroupé
LQ discretisées

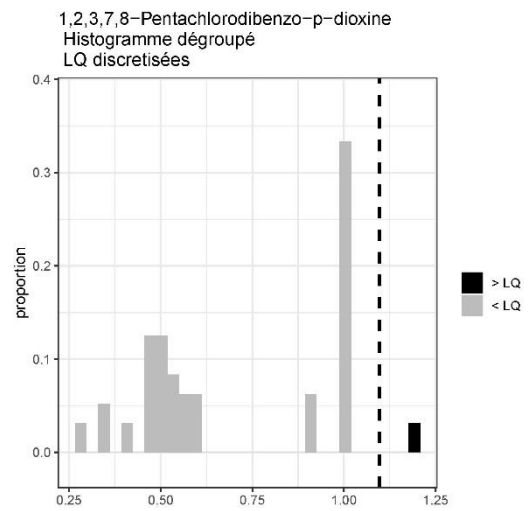
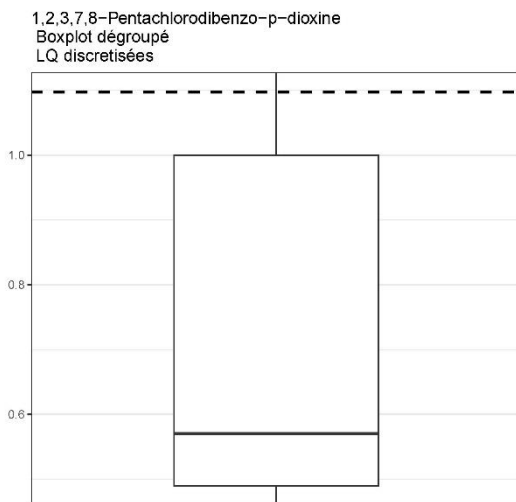


4.5. DIOXINES

4.5.1. 2-3-7-8-TCDD

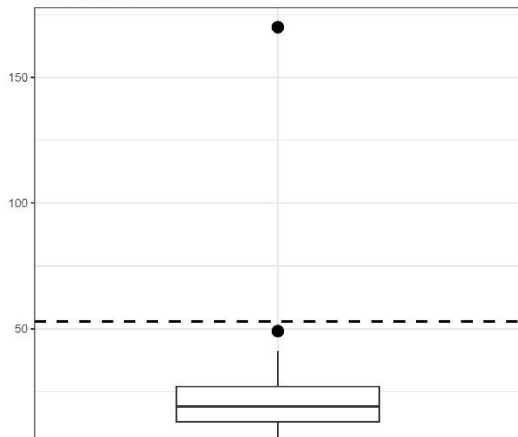


4.5.2. 1-2-3-7-8-PeCDD

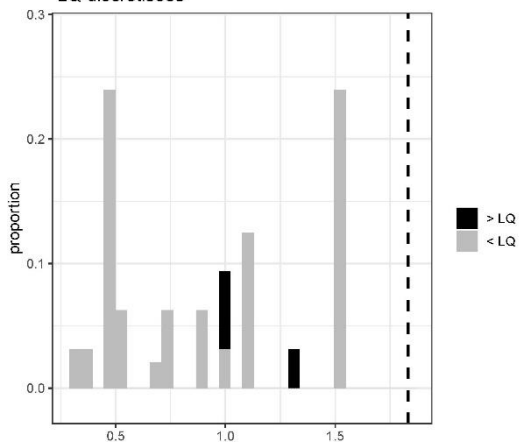


4.5.3. 1-2-3-4-7-8-HxCDD

1,2,3,4,6,7,8-Heptachlorodibenzo-p-dioxine
Boxplot dégroupé
LQ discretisées

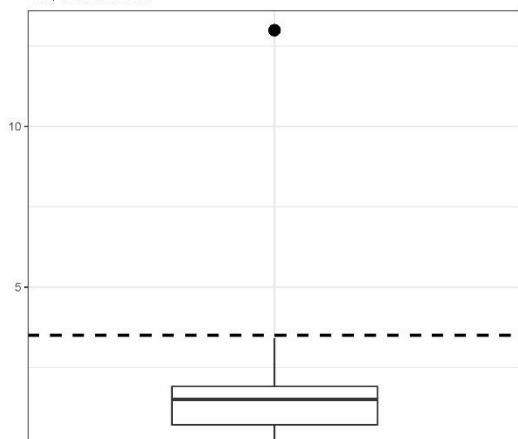


1,2,3,4,7,8-Hexachlorodibenzo-p-dioxine
Histogramme dégroupé
LQ discretisées

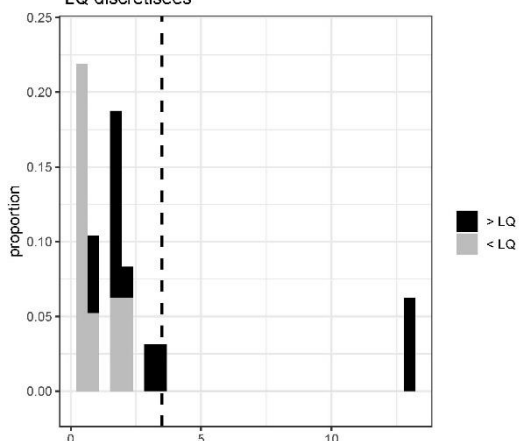


4.5.4. 1-2-3-6-7-8-HxCDD

1,2,3,6,7,8-Hexachlorodibenzo-p-dioxine
Boxplot dégroupé
LQ discretisées

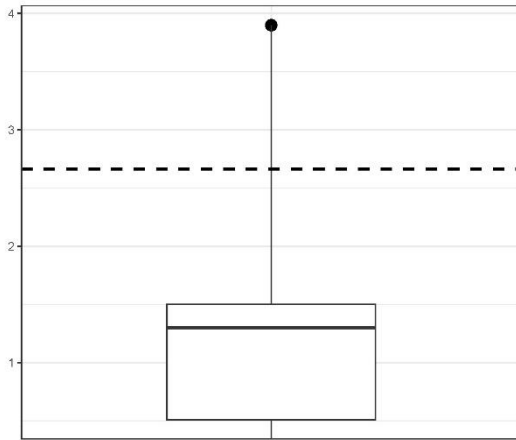


1,2,3,6,7,8-Hexachlorodibenzo-p-dioxine
Histogramme dégroupé
LQ discretisées

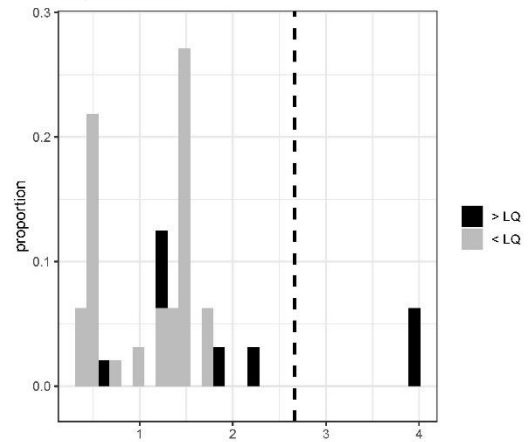


4.5.5. 1-2-3-7-8-9-HxCDD

1,2,3,7,8,9-Hexachlorodibenzo-p-dioxine
Boxplot dégroupé
LQ discretisées

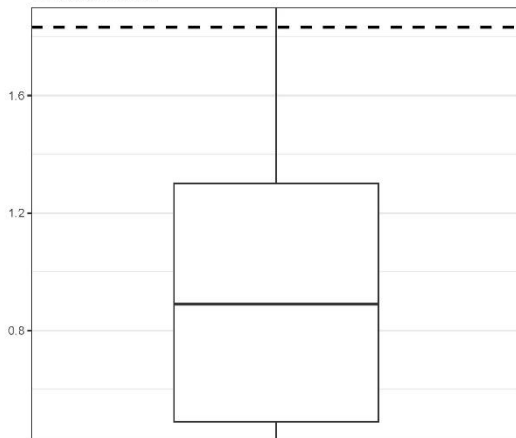


1,2,3,7,8,9-Hexachlorodibenzo-p-dioxine
Histogramme dégroupé
LQ discretisées

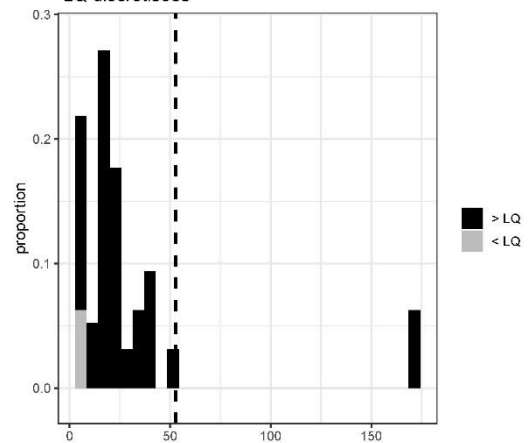


4.5.6. 1-2-3-4-6-7-8-HpCDD

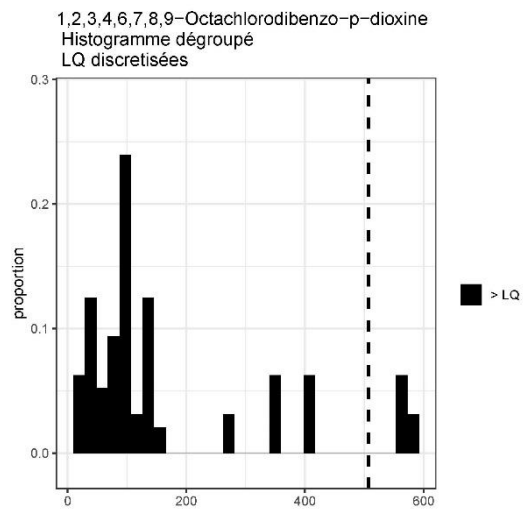
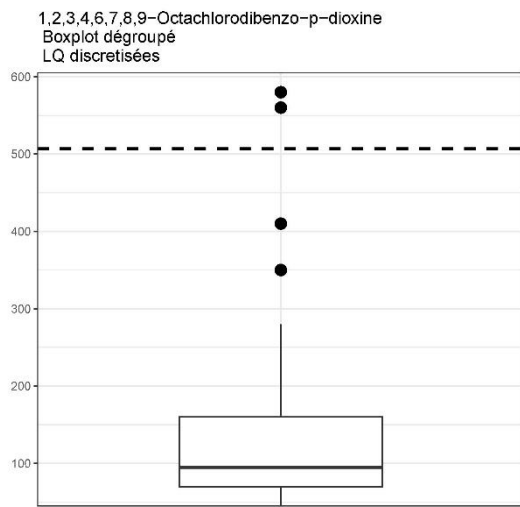
1,2,3,4,7,8-Hexachlorodibenzo-p-dioxine
Boxplot dégroupé
LQ discretisées



1,2,3,4,6,7,8-Heptachlorodibenzo-p-dioxine
Histogramme dégroupé
LQ discretisées

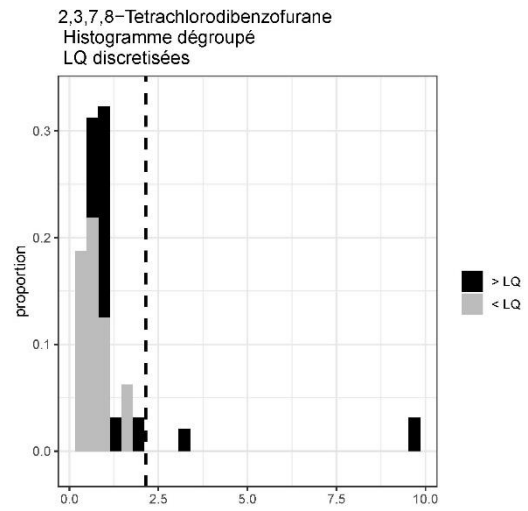
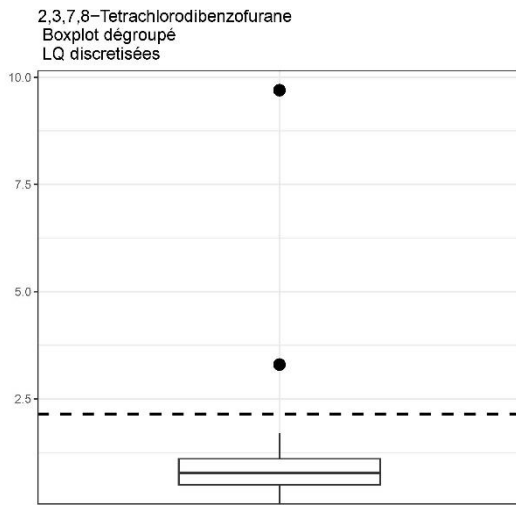


4.5.7. OCDD

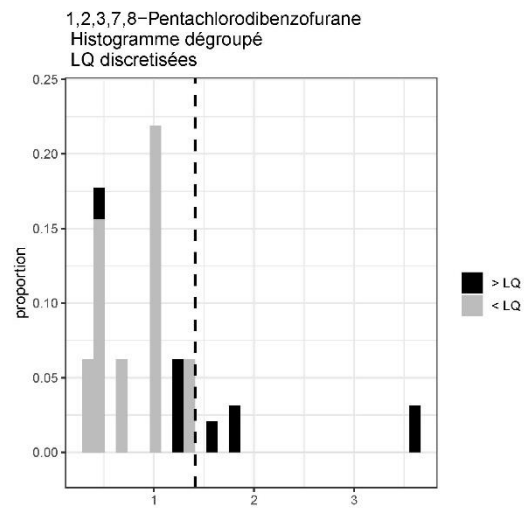
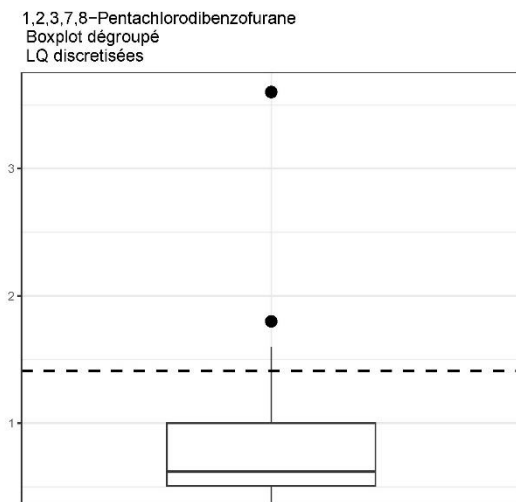


4.6. FURANES

4.6.1. 2-3-7-8-TCDF



4.6.2. 1-2-3-7-8-PeCDF

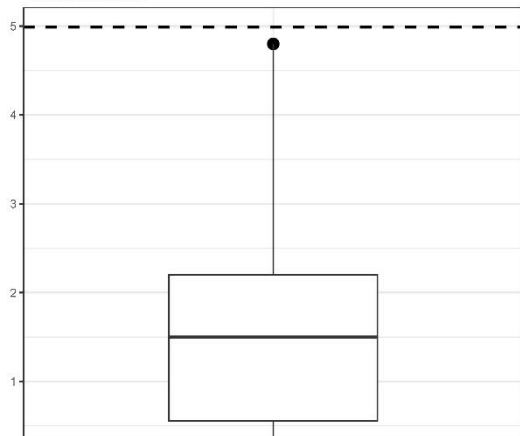


4.6.3. 2-3-4-7-8-PeCDF

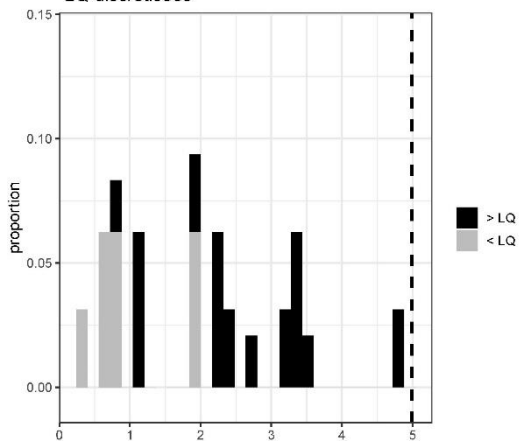
Indisponible

4.6.4. 1-2-3-4-7-8-HxCDF

1,2,3,4,7,8-hexachlorodibenzofurane
Boxplot dégroupé
LQ discretisées

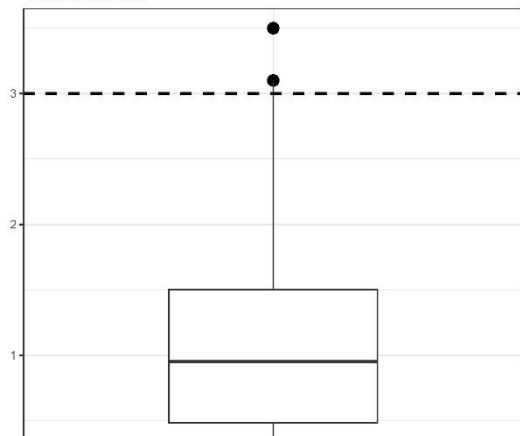


1,2,3,4,7,8-hexachlorodibenzofurane
Histogramme dégroupé
LQ discretisées

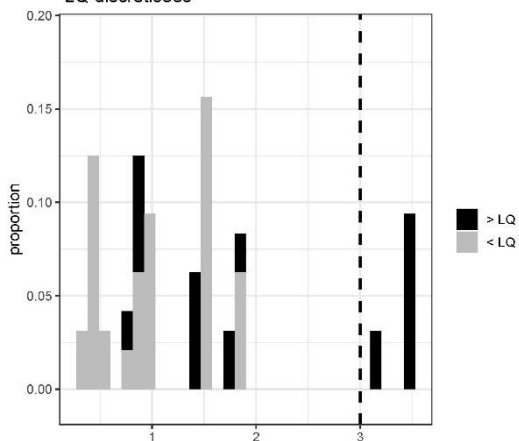


4.6.5. 1-2-3-6-7-8-HxCDF

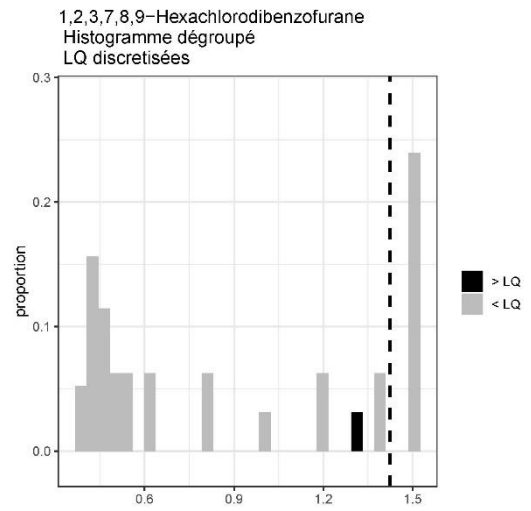
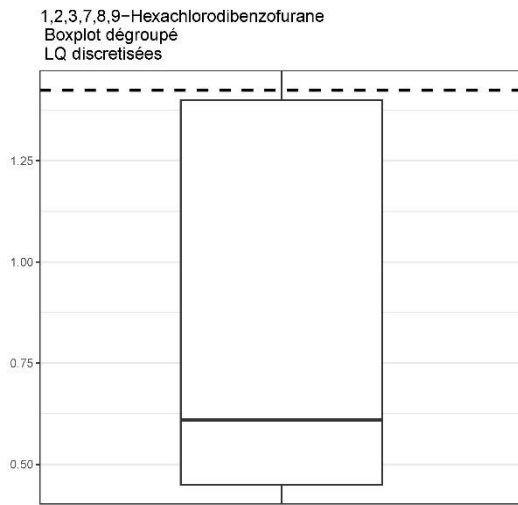
1,2,3,6,7,8-Hexachlorodibenzofurane
Boxplot dégroupé
LQ discretisées



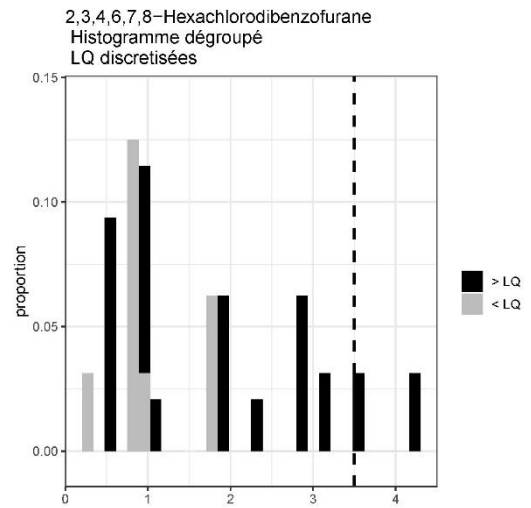
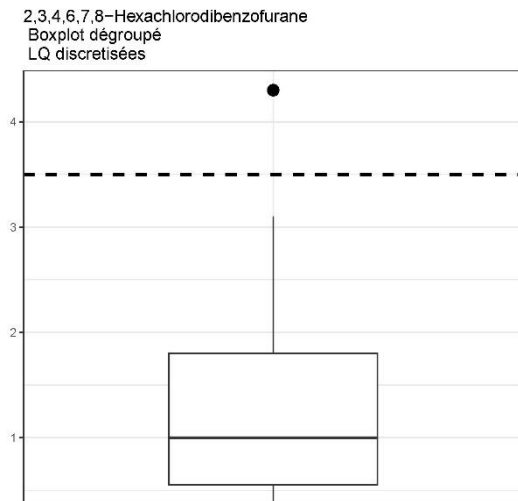
1,2,3,6,7,8-Hexachlorodibenzofurane
Histogramme dégroupé
LQ discretisées



4.6.6. 1-2-3-7-8-9-HxCDF

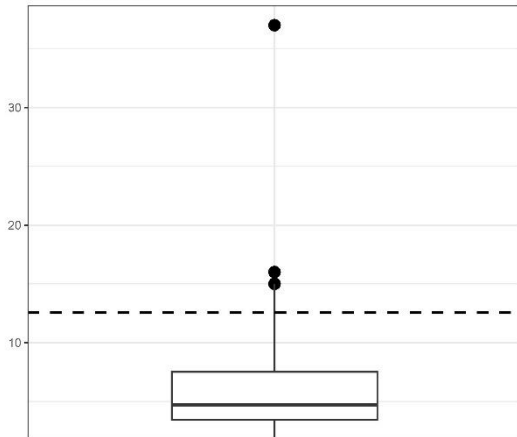


4.6.7. 2-3-4-6-7-8-HxCDF

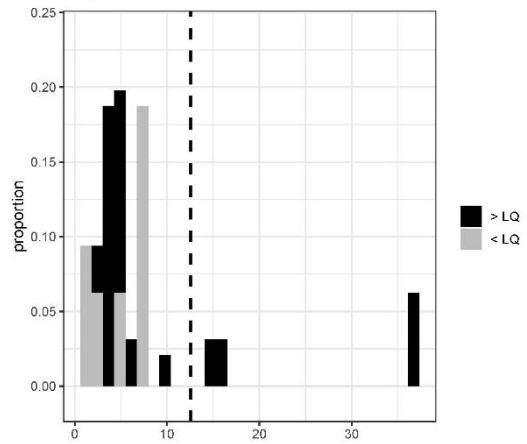


4.6.8. 1-2-3-4-6-7-8-HpCDF

1,2,3,4,6,7,8-Heptachlorodibenzofurane
Boxplot dégroupé
LQ discretisées

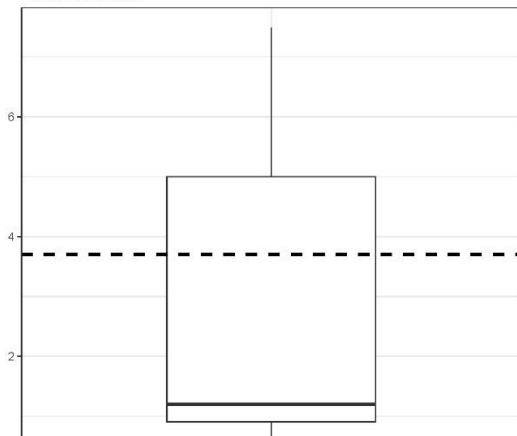


1,2,3,4,6,7,8-Heptachlorodibenzofurane
Histogramme dégroupé
LQ discretisées

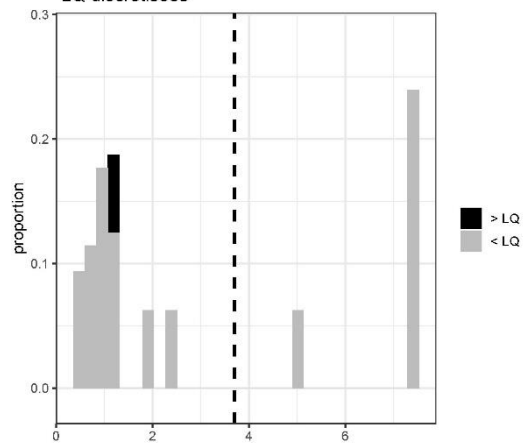


4.6.9. 1-2-3-4-7-8-9-HpCDF

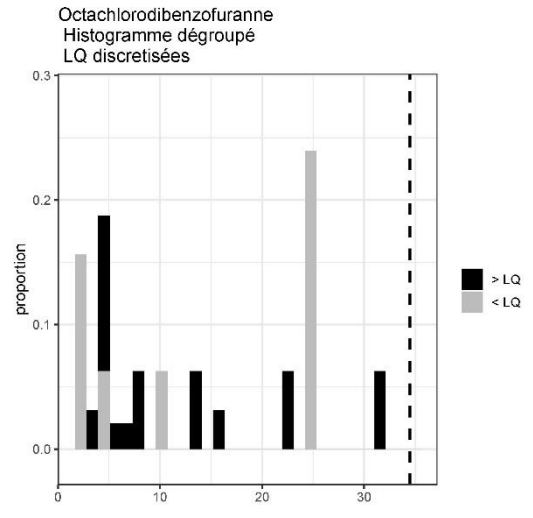
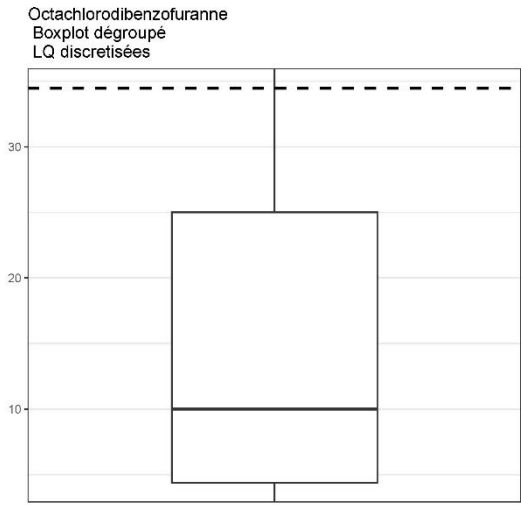
1,2,3,4,7,8,9-Heptachlorodibenzofurane
Boxplot dégroupé
LQ discretisées



1,2,3,4,7,8,9-Heptachlorodibenzofurane
Histogramme dégroupé
LQ discretisées



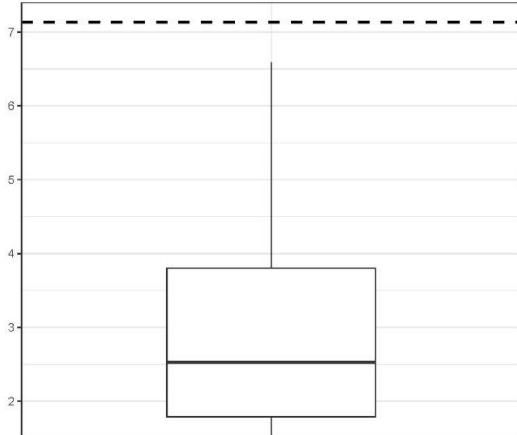
4.6.10. OCDF



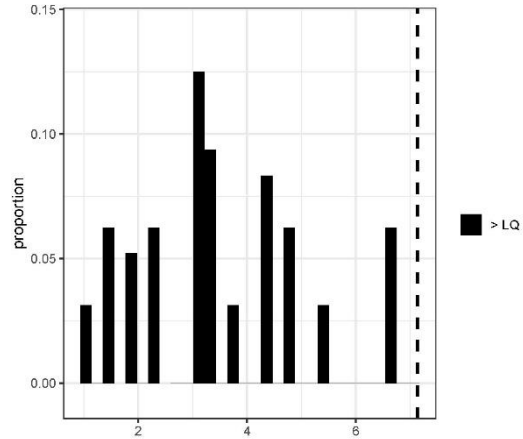
4.7. DIOXINES ET FURANES

4.7.1. Somme des dioxines et furanes

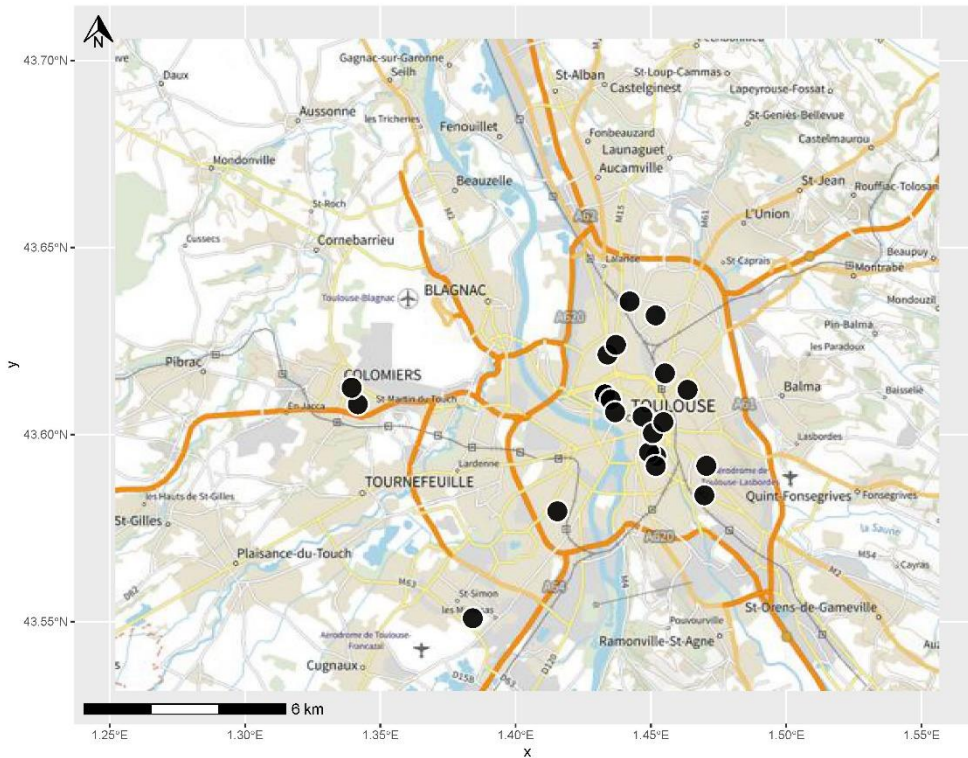
Somme dioxines & furanes
Boxplot dégroupé
LQ discretisées



Somme dioxines & furanes
Histogramme dégroupé
LQ discretisées



Somme dioxines & furanes





*Liberté
Égalité
Fraternité*

Centre scientifique et technique
3, avenue Claude-Guillemin
BP 36009
45060 – Orléans Cedex 2 – France
Tél. : 02 38 64 34 34
www.brgm.fr



Géosciences pour une Terre durable

brgm